

# T2K前置検出器での測定

池田一得

2012年7月7日

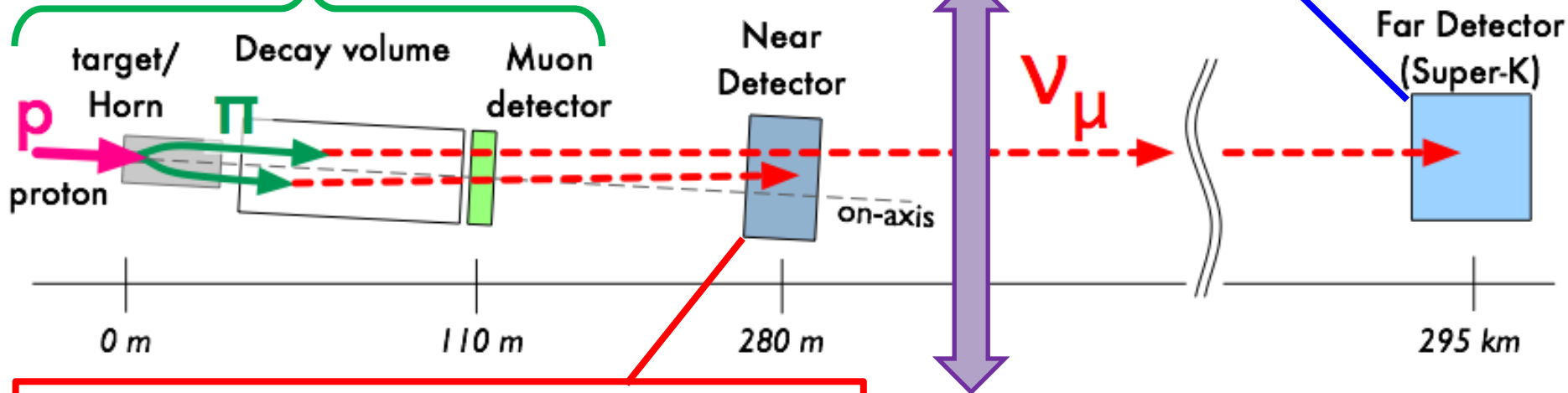
特定領域「フレーバー物理の新展開」研究会 2012

# もくじ

- 実験概要
- 前置検出器の紹介
- 振動解析へのインプット
  - フラックスの不定性 ← 鈴木君の話
  - ニュートリノ断面積の不定性
- その他の測定の現状
  - ビーム $\nu_e$
  - $NC\pi^0$
  - 断面積測定

# T2K実験セットアップ概要

p,  $\mu$ ビームの測定  
フラックスの計算



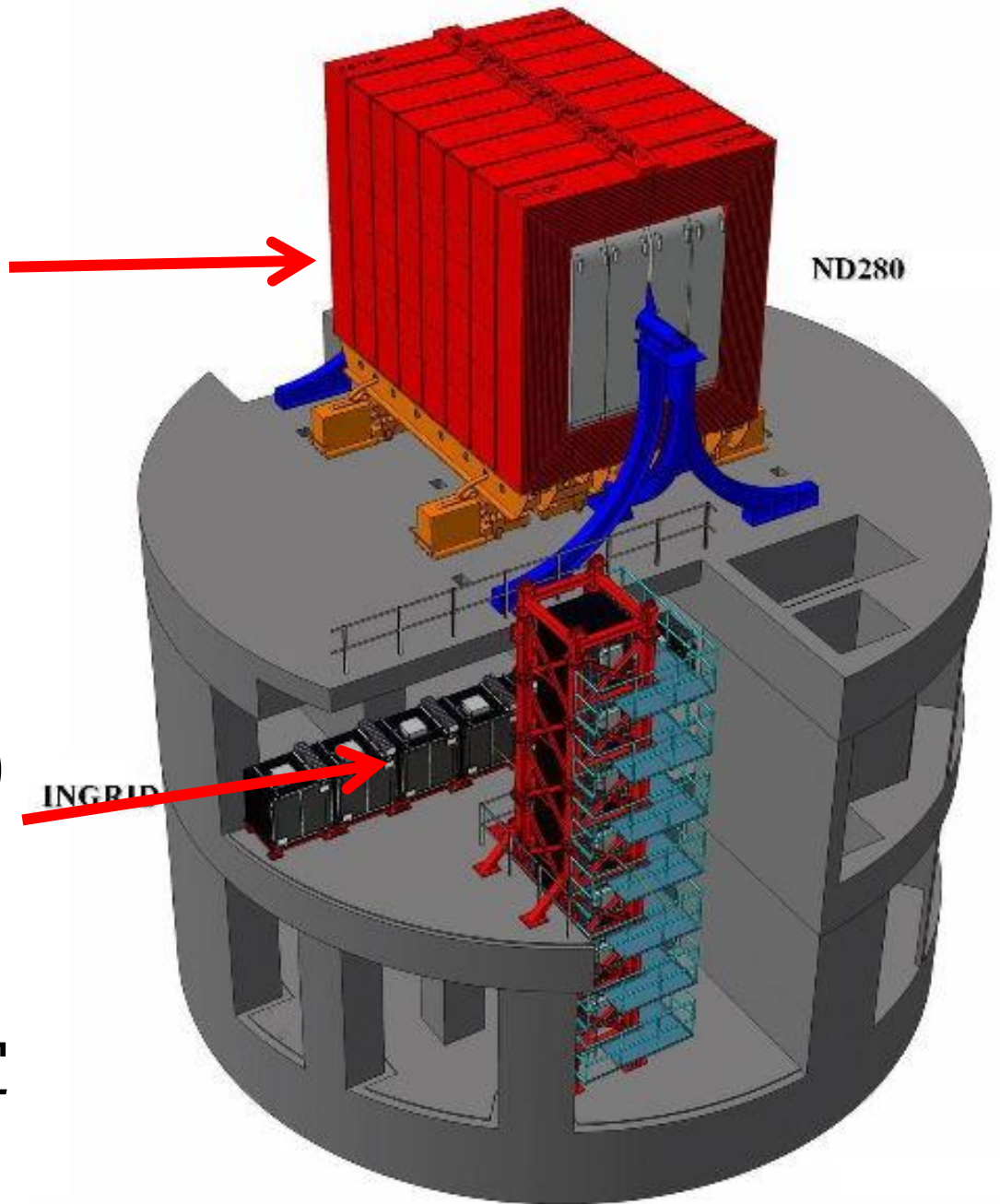
ニュートリノ数、  
運動量、角度の測定

前置検出器での  
振動前のニュートリノ測定：  
フラックス × 断面積  
に制限を与える。

ニュートリノ振動を考慮して  
SKでのニュートリノ事象を  
予想する

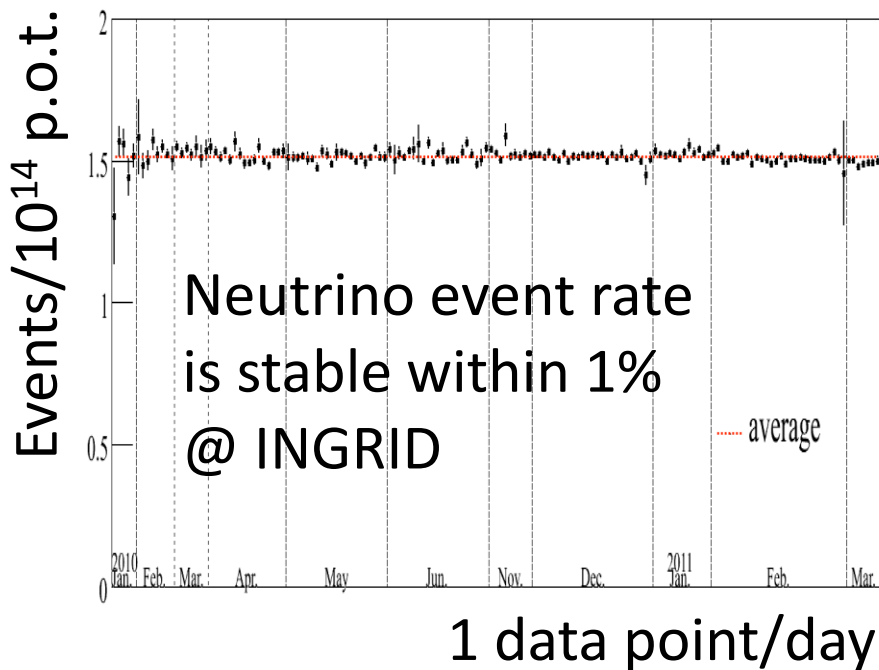
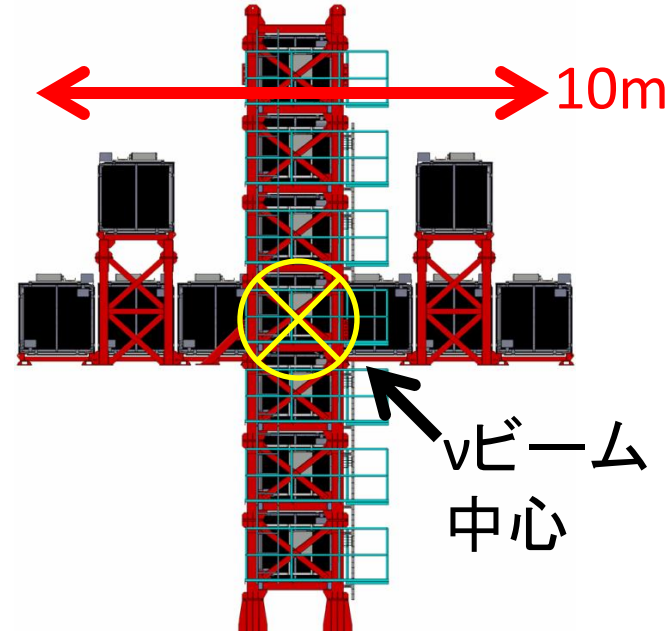
# 前置検出器

- ND280(多国籍軍)
  - 5つの検出器
  - 磁場の中にある
  - Off axis (SK方向)を向いている。
- INGRID (主に京大)
  - 検出器の中心は On axis
  - ビーム方向の測定

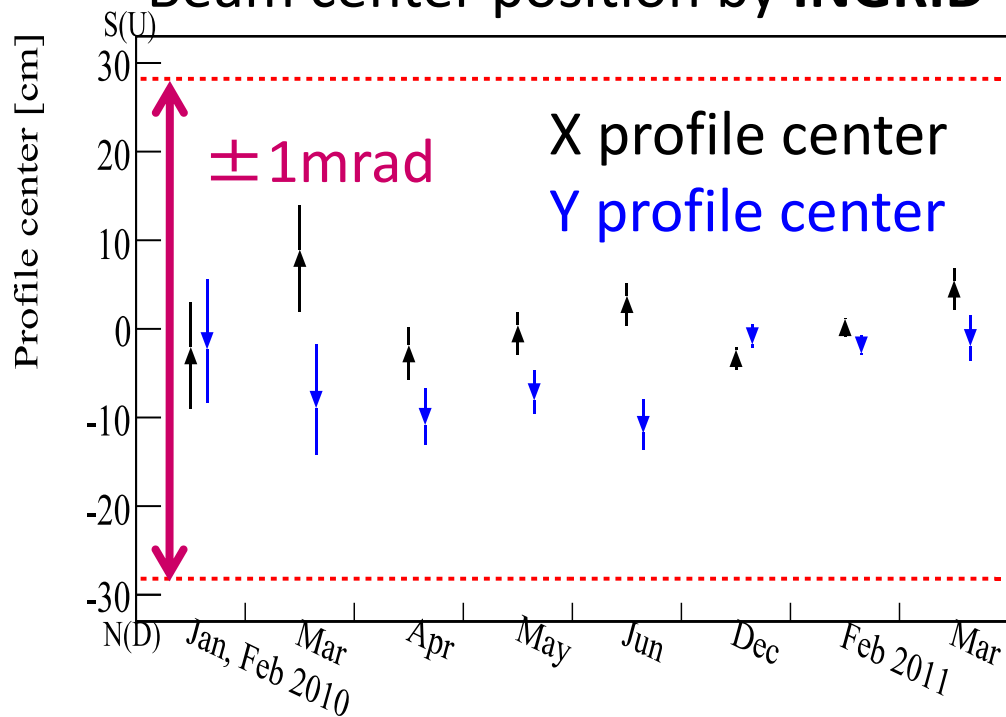


# INGRID(鉄とシンチのサンドイッチ)

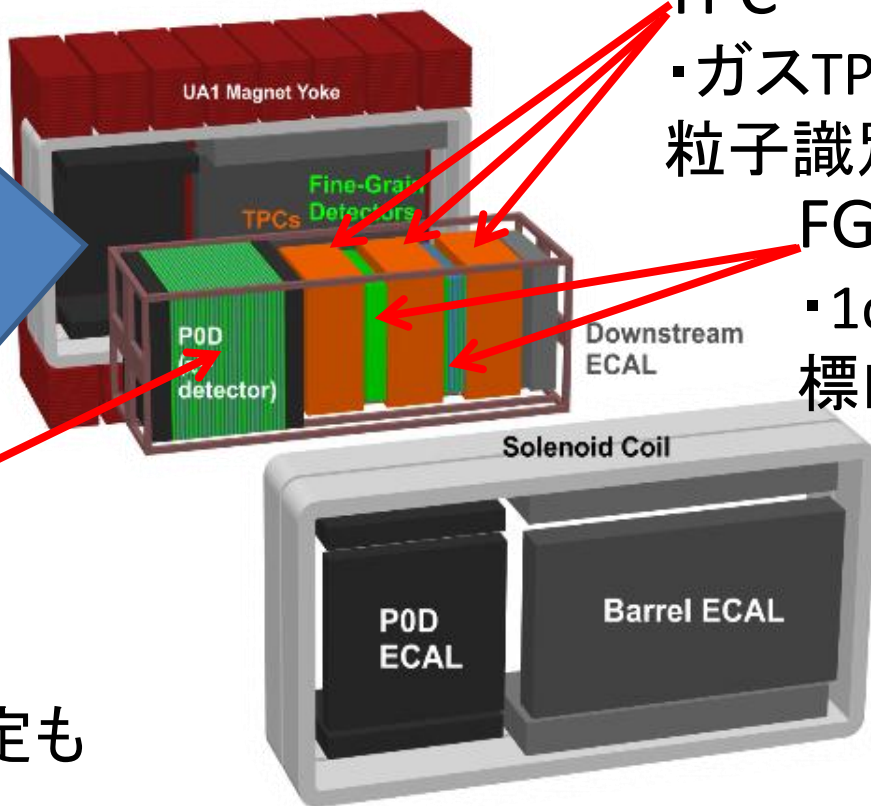
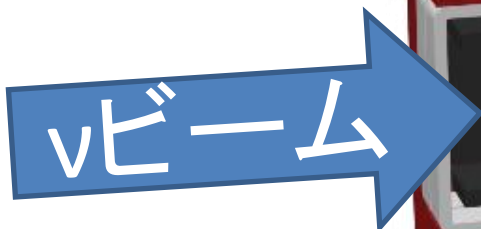
- ・全期間にわたって以下を測定  
ニュートリノイベントレート(日毎)  
ニュートリノビーム中心(月毎)
- ・イベントレートは1%以内  
ビーム中心は1mrad以内で安定



## Beam center position by INGRID



# ND280



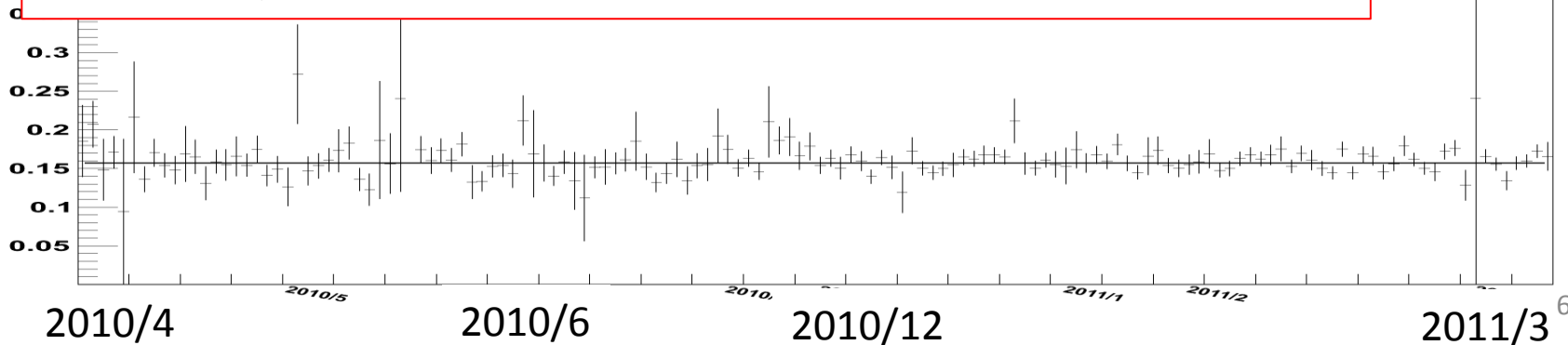
TPC  
・ガスTPC  
粒子識別、運動量

FGD  
・1cm角のシンチバー  
標的・飛跡検出器

Pi0 Detector  
(POD)  
・SKのBGになる  
反応を測定  
・ビーム $\nu_e$ の測定も

Event/ $10^{15}$ POT

FGDで測定されたニュートリノ事象候補イベントレート



# 振動解析方法(鈴木スライドより)

鈴木のTalk

昨日の中平さんのTalk

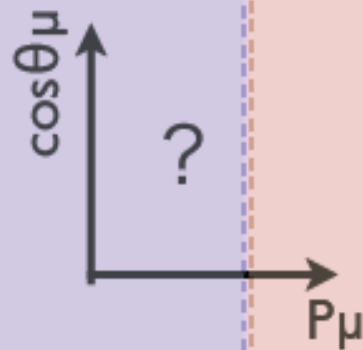
$\nu$  Flux uncertainties

**Fit**

ND280  $\nu\mu$  measurement  
( $P_\mu$ - $\cos\theta_\mu$  distribution)

$\nu$  interaction cross section uncertainties

**Fit**



ND280 detector uncertainties

**Fit**

Constrain flux, x-sec, and det. uncertainties

**Input of fitted parameters**

Oscillation Analysis

池田さんのTalk

# 振動解析方法(鈴木スライドより)

鈴木のTalk

昨日の中平さんのTalk

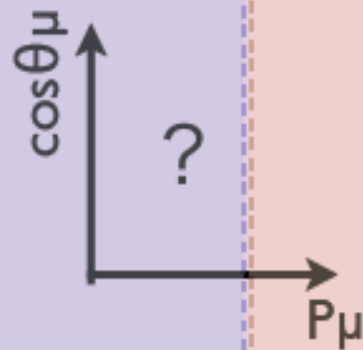
$\nu$  Flux uncertainties

**Fit**

ND280  $\nu\mu$  measurement  
( $P_\mu$ - $\cos\theta_\mu$  distribution)

$\nu$  interaction cross section uncertainties

**Fit**



ND280 detector uncertainties

**Fit**

Constrain flux, x-sec, and det. uncertainties

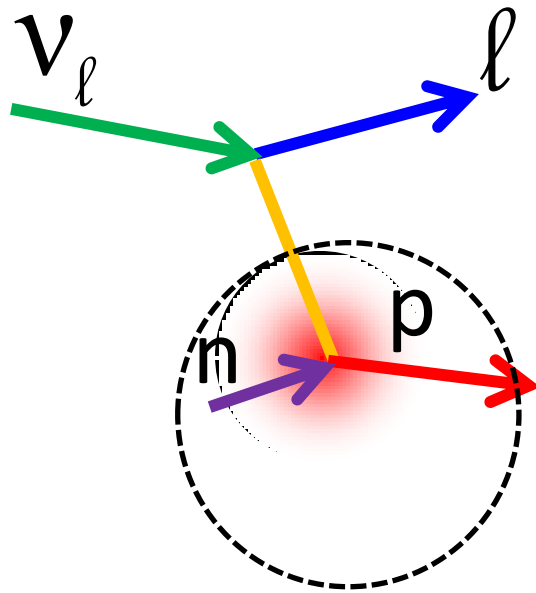
**Input of fitted parameters**

Oscillation Analysis

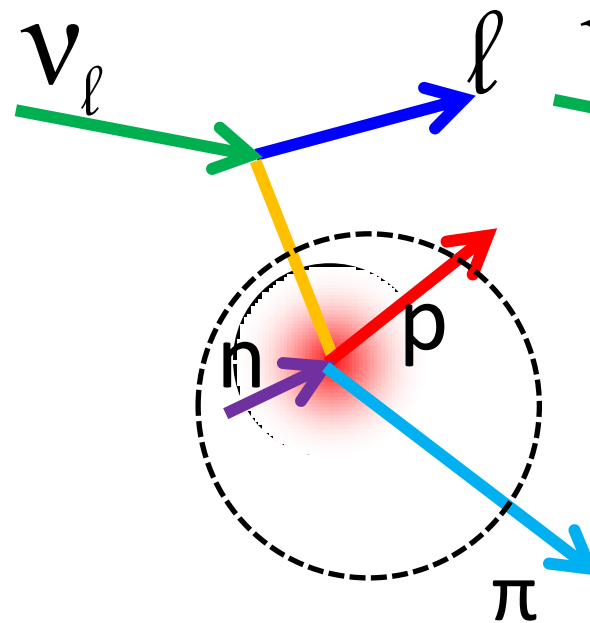
池田さんのTalk

# 主なニュートリノ断面積パラメータ

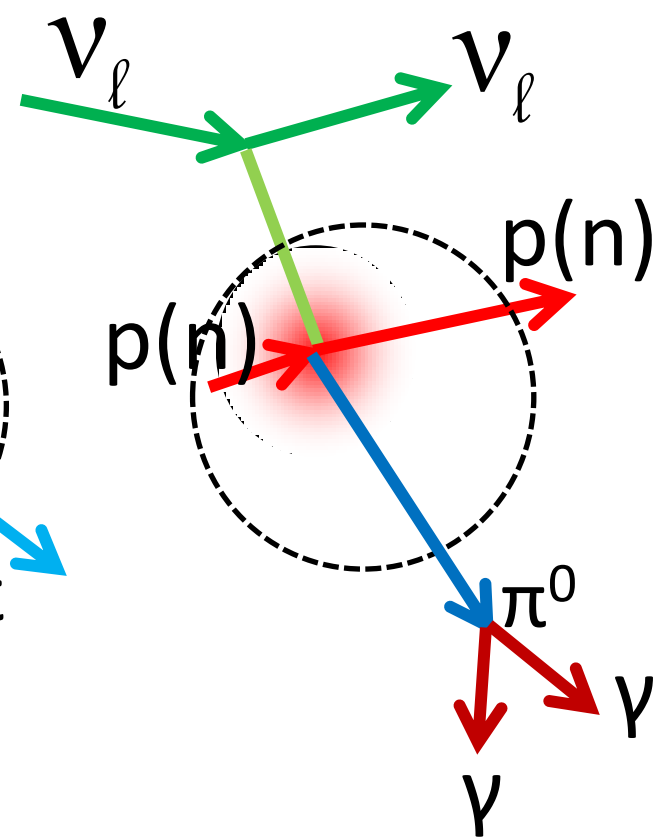
Charged Current  
Quasi Elastic  
(CCQE)



Charged Current  
1  $\pi$  production  
(CC1 $\pi$ )

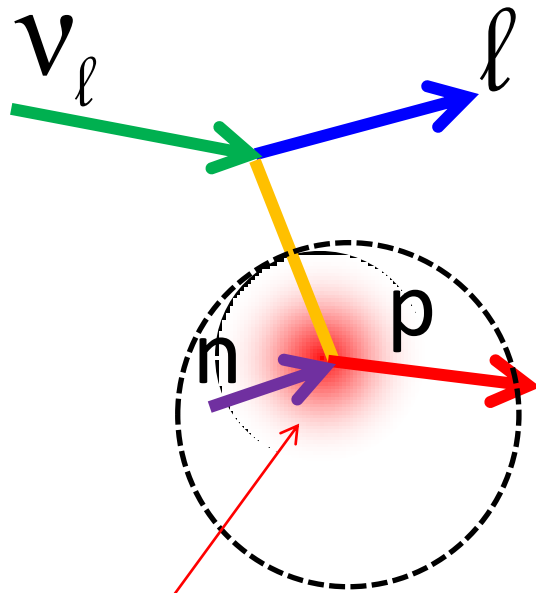


Neutral Current  
1  $\pi^0$  production  
(NC1 $\pi^0$ )



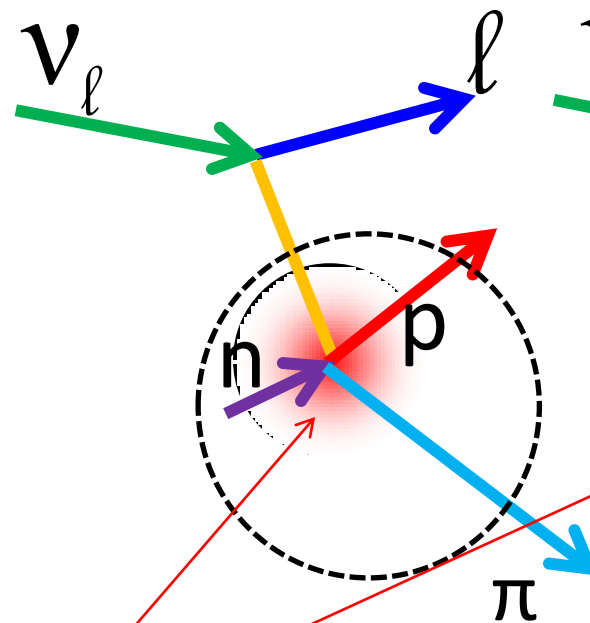
# 主なニュートリノ断面積パラメータ

Charged Current  
Quasi Elastic  
(CCQE)

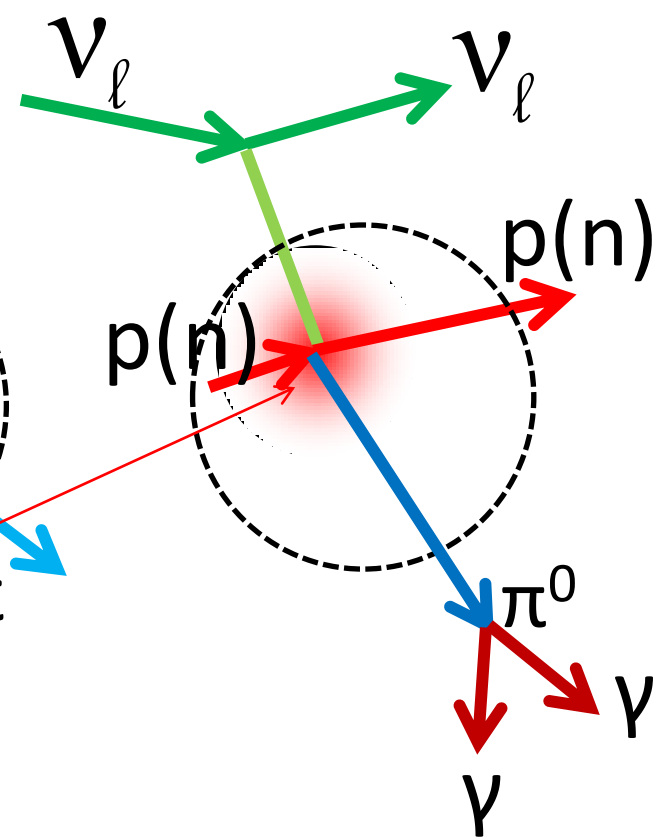


- $M_A^{QE} \sim 1.2 \text{ GeV}$
- $M_A^{RES} \sim 1.2 \text{ GeV}$

Charged Current  
1  $\pi$  production  
(CC1 $\pi$ )

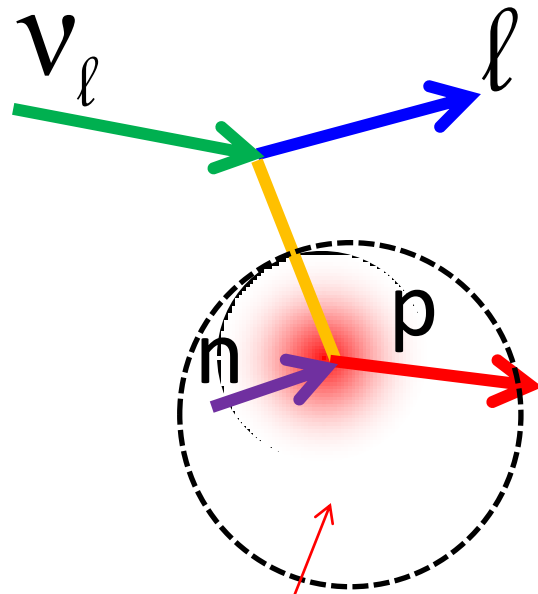


Neutral Current  
1  $\pi^0$  production  
(NC1 $\pi^0$ )

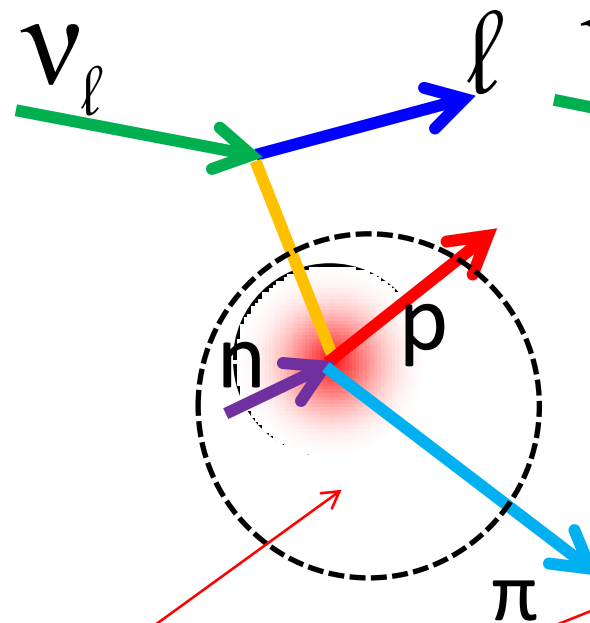


# 主なニュートリノ断面積パラメータ

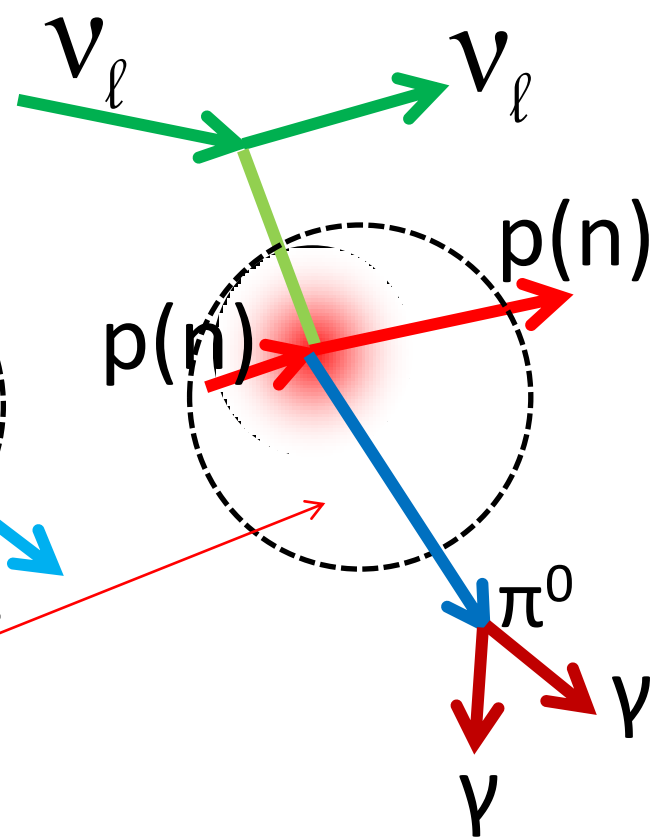
Charged Current  
Quasi Elastic  
(CCQE)



Charged Current  
1  $\pi$  production  
(CC1 $\pi$ )



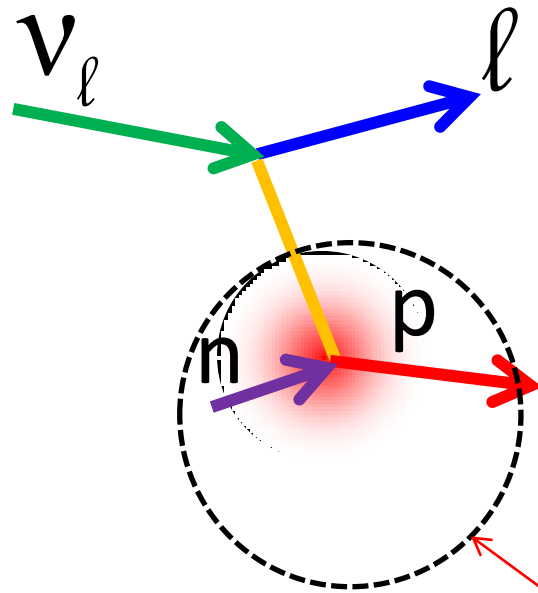
Neutral Current  
1  $\pi^0$  production  
(NC1 $\pi^0$ )



- $M_A^{QE} \sim 1.2 \text{ GeV}$
- $M_A^{RES} \sim 1.2 \text{ GeV}$
- $p_F \sim 200 \text{ MeV}/c$

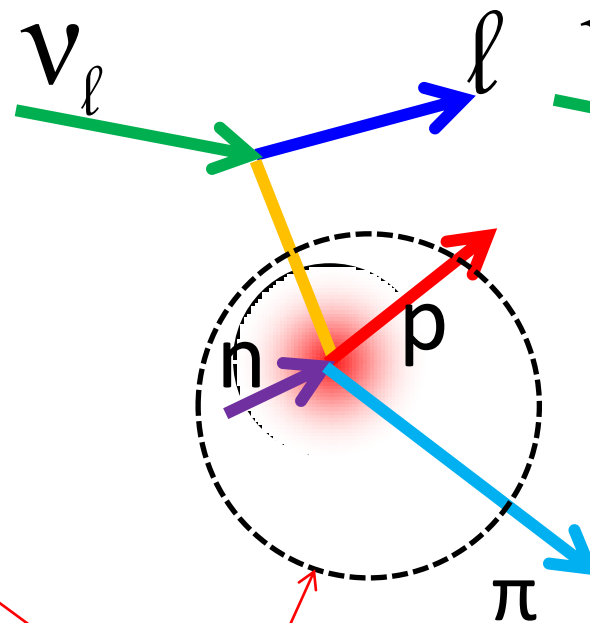
# 主なニュートリノ断面積パラメータ

Charged Current  
Quasi Elastic  
(CCQE)



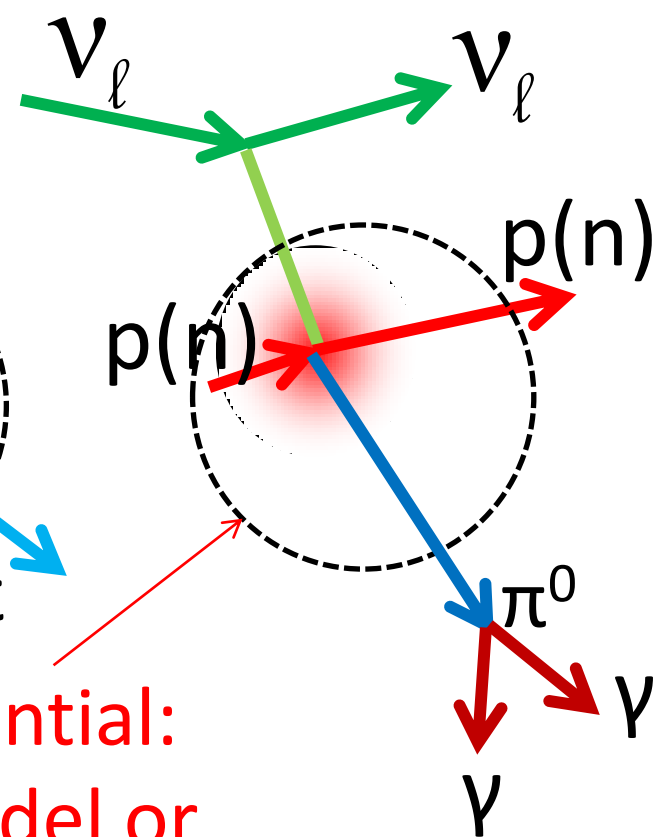
- $M_A^{QE} \sim 1.2 \text{ GeV}$
- $M_A^{RES} \sim 1.2 \text{ GeV}$
- $p_F \sim 200 \text{ MeV}/c$

Charged Current  
1  $\pi$  production  
(CC1 $\pi$ )



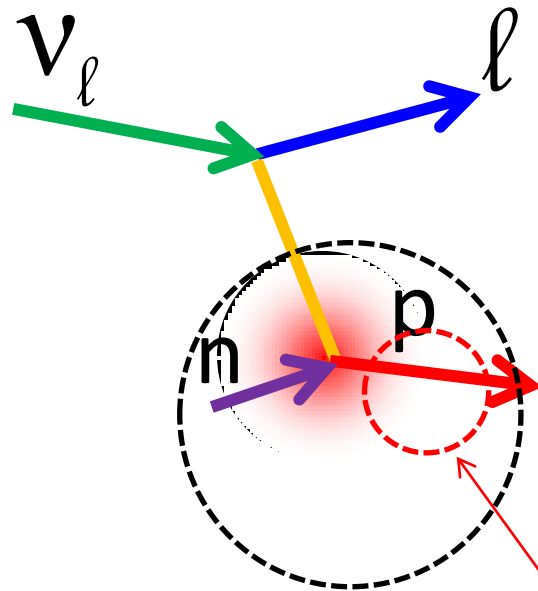
▪ Nuclear Potential:  
Fermi Gas Model or  
Spectral function

Neutral Current  
1  $\pi^0$  production  
(NC1 $\pi^0$ )



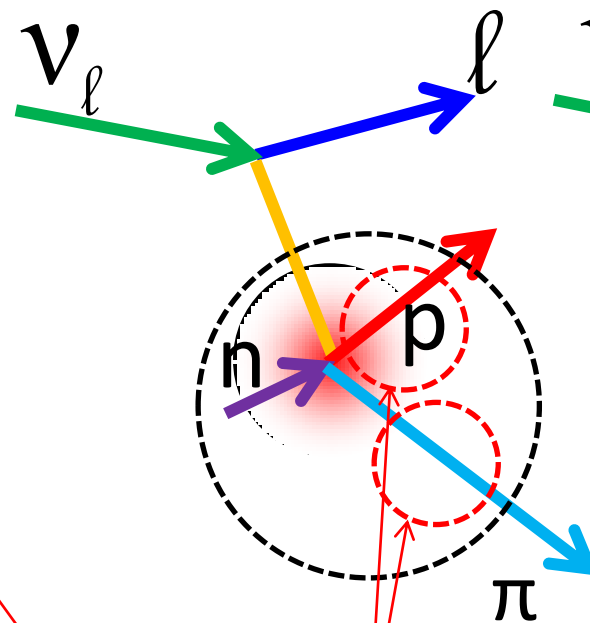
# 主なニュートリノ断面積パラメータ

Charged Current  
Quasi Elastic  
(CCQE)



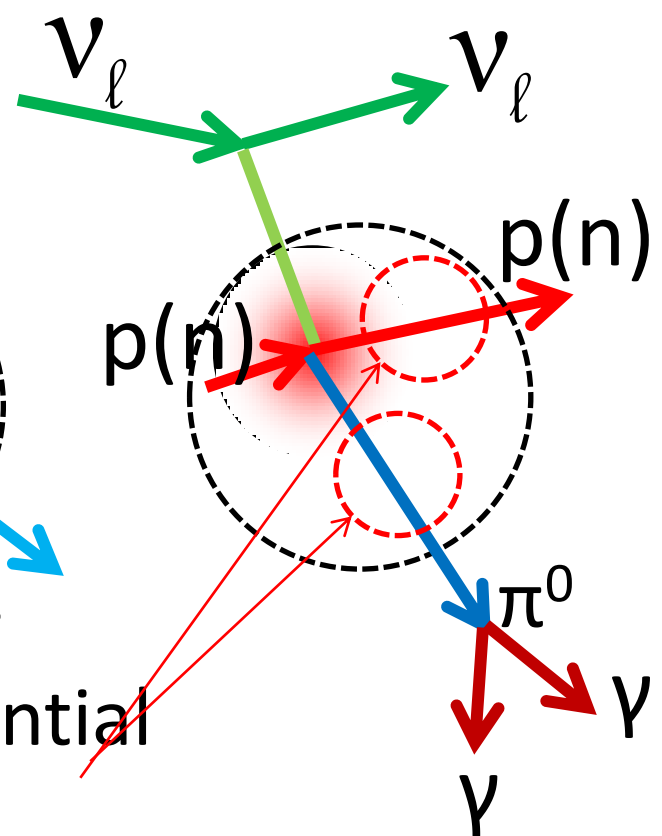
- $M_A^{QE} \sim 1.2 \text{ GeV}$
- $M_A^{RES} \sim 1.2 \text{ GeV}$
- $p_F \sim 200 \text{ MeV}/c$

Charged Current  
1  $\pi$  production  
(CC1 $\pi$ )



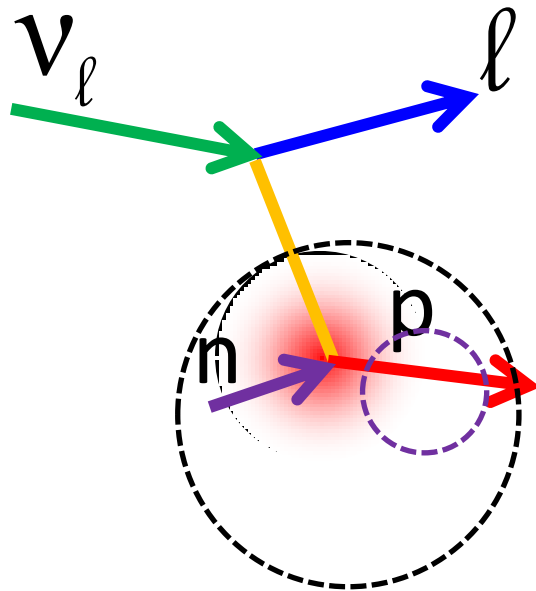
- Nuclear Potential
- Final State Interaction (FSI)

Neutral Current  
1  $\pi^0$  production  
(NC1 $\pi^0$ )



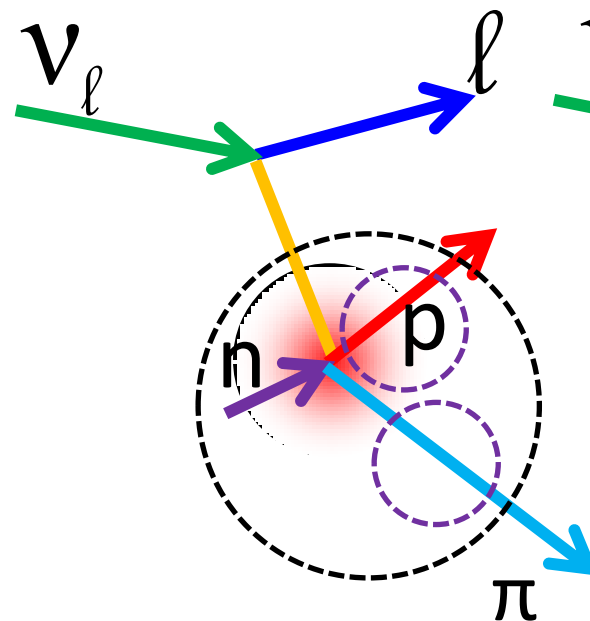
# 主なニュートリノ断面積パラメータ

Charged Current  
Quasi Elastic  
(CCQE)



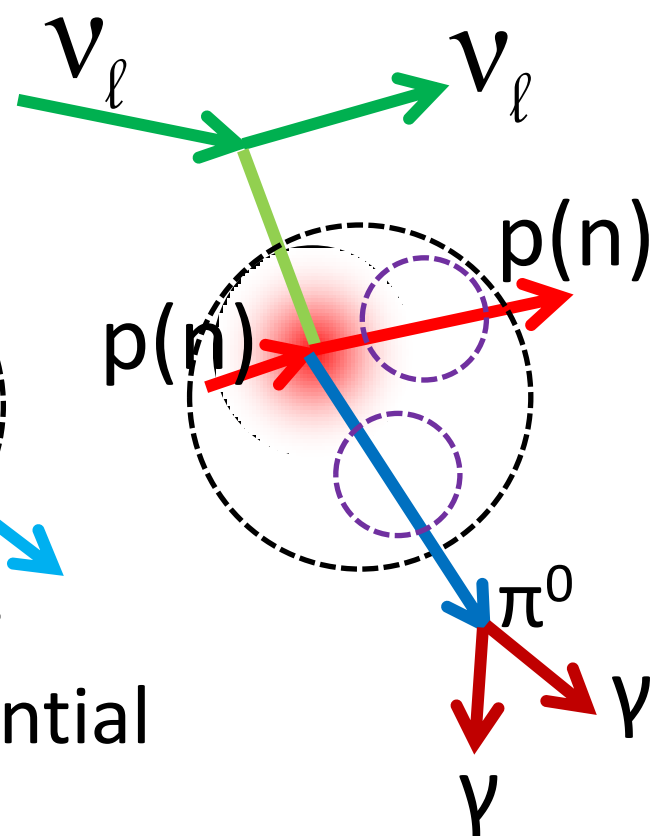
- $M_A^{QE} \sim 1.2 \text{ GeV}$
- $M_A^{RES} \sim 1.2 \text{ GeV}$
- $p_F \sim 200 \text{ MeV}/c$

Charged Current  
1  $\pi$  production  
(CC1 $\pi$ )



- Nuclear Potential
- Final State Interaction (FSI)

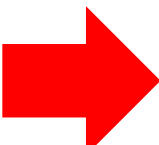
Neutral Current  
1  $\pi^0$  production  
(NC1 $\pi^0$ )

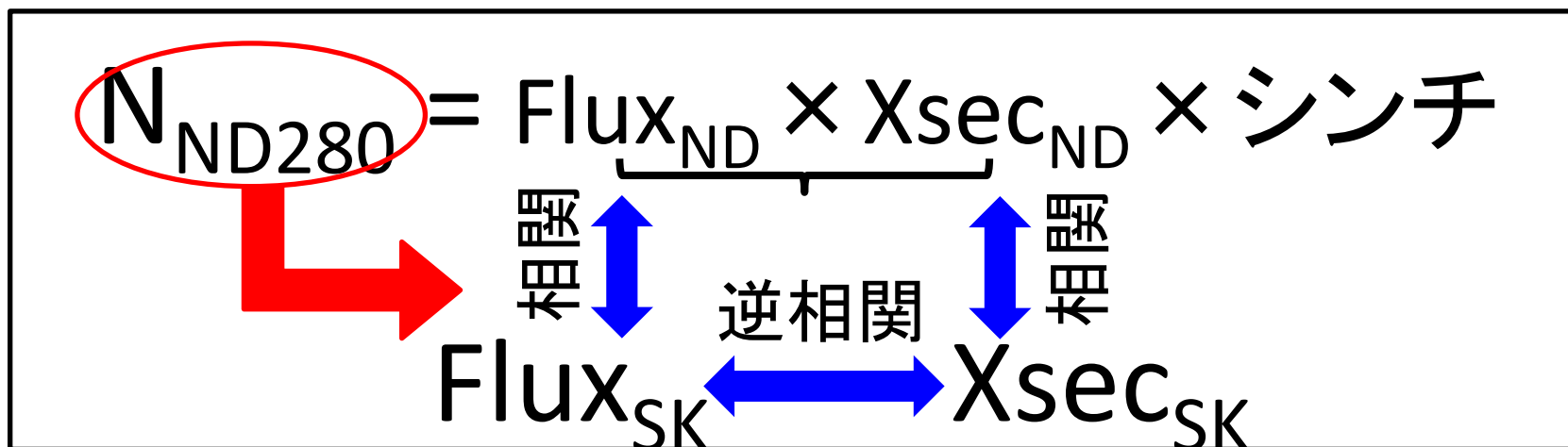


# SKでの予想( $N_{sk}$ )の不定性を抑える

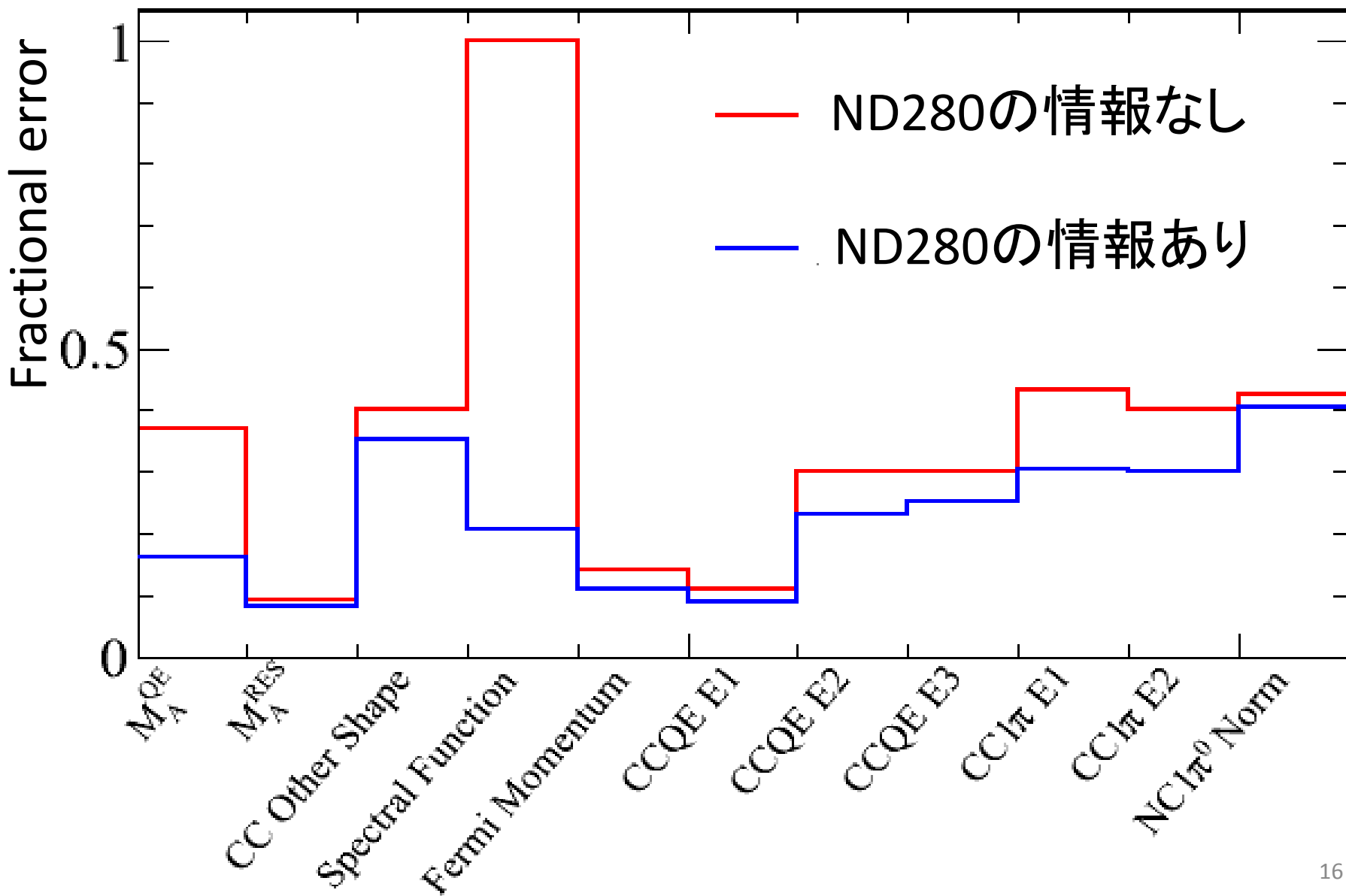
なにやら難しいことを言っているようですが、

$$N_{sk} = \text{Flux}_{SK} \times Xsec_{SK} \times \text{水}_{22.5kt}$$


$$\frac{\sigma_{Nsk}}{N_{sk}} = \sqrt{\left(\frac{\sigma_{\text{Flux}}}{\text{Flux}_{SK}}\right)^2 + \left(\frac{\sigma_{Xsec}}{Xsec_{SK}}\right)^2 + \frac{2COV}{\text{Flux} \cdot Xsec}}$$



# ニュートリノ断面積起源の不定性



# 振動解析方法(鈴木スライドより)

鈴木のTalk

昨日の中平さんのTalk

$\nu$  Flux uncertainties

**Fit**

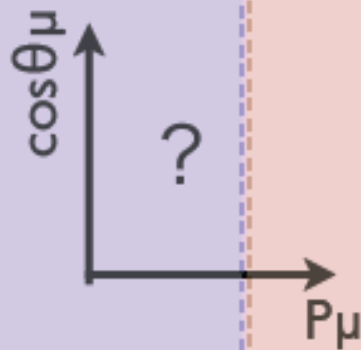
$\nu$  interaction cross section uncertainties

**Fit**

ND280 detector uncertainties

**Fit**

ND280  $\nu\mu$  measurement ( $P_\mu$ - $\cos\theta_\mu$  distribution)



Constrain flux, x-sec, and det. uncertainties

**Input of fitted parameters**

Oscillation Analysis

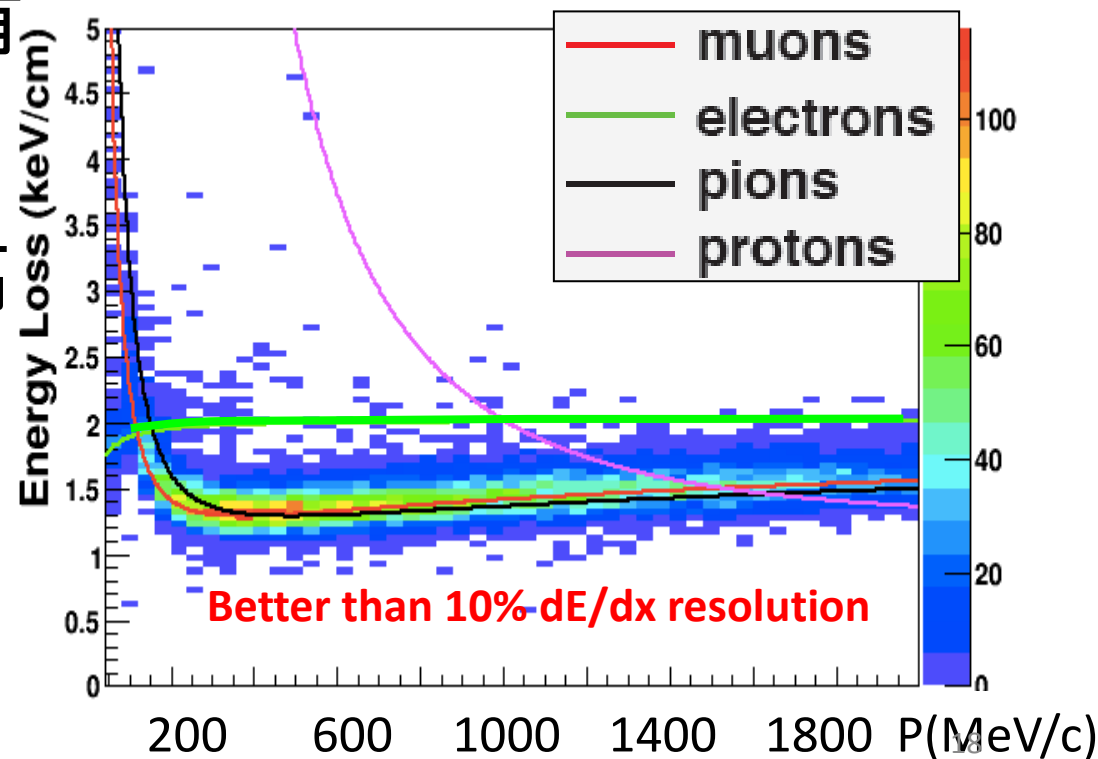
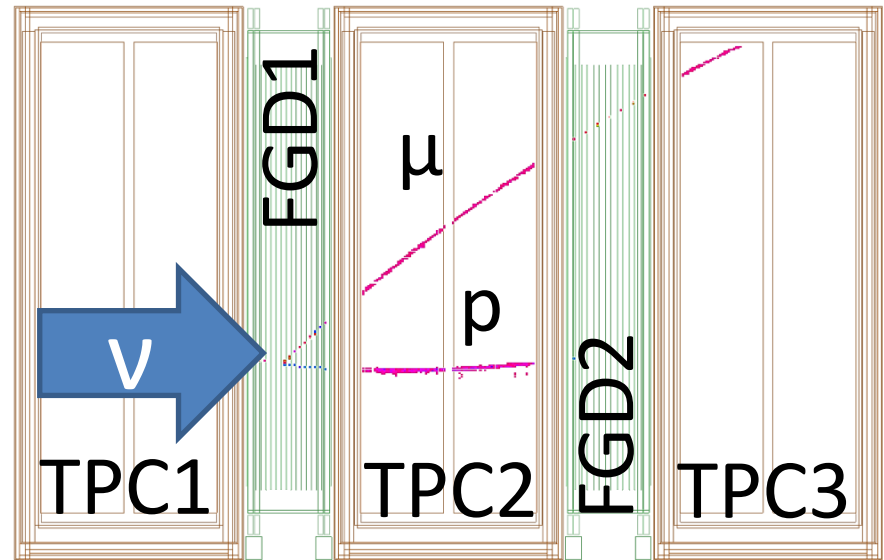
池田さんのTalk

# $\nu_\mu$ の測定 @ ND280

TPCとFGDを使用

CC inclusive 事象選択

- 少なくとも1つの飛跡がTPC-FGDにまたがっていて、FGDの有効体積内から始まっている。
- 一番エネルギーの高い負電荷の飛跡は $\mu$ である(TPCより)
- TPC1 $\rightarrow$ FGD1 の事象をカット(TPC1Veto)



# CCQE, CCnQE

- TPC-FGCトラックが1つ
- Decay-eがない

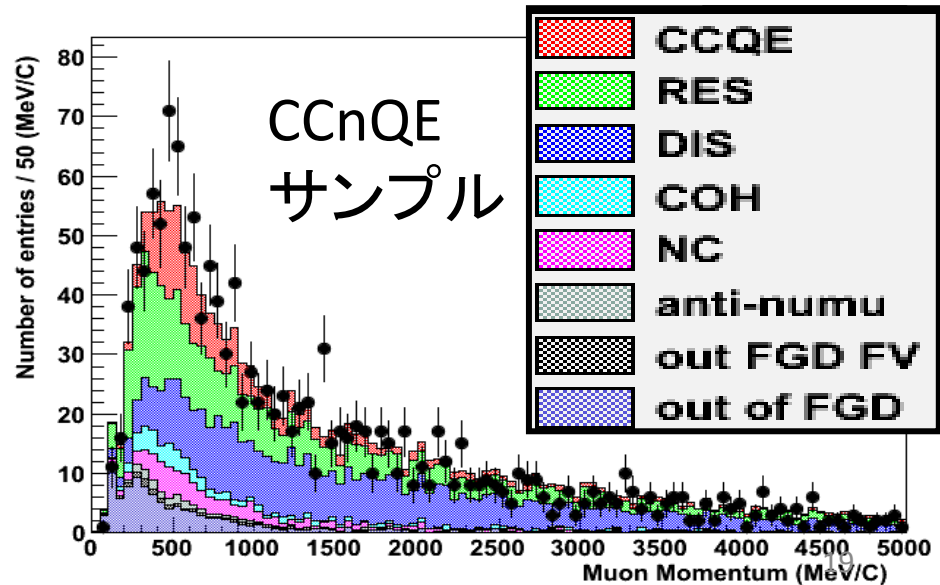
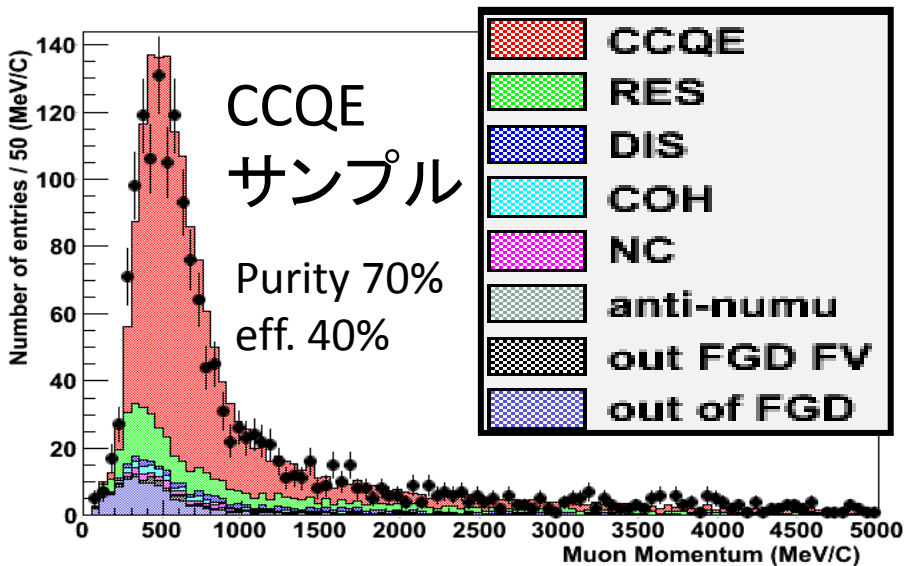
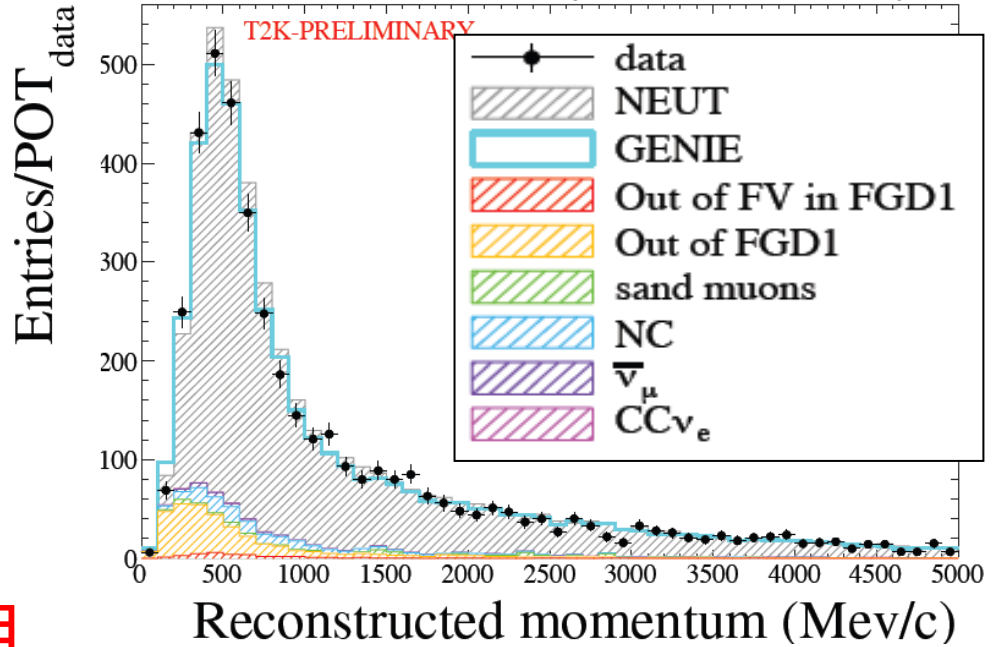
CCQEサンプル

それ以外

CCnQE サンプル

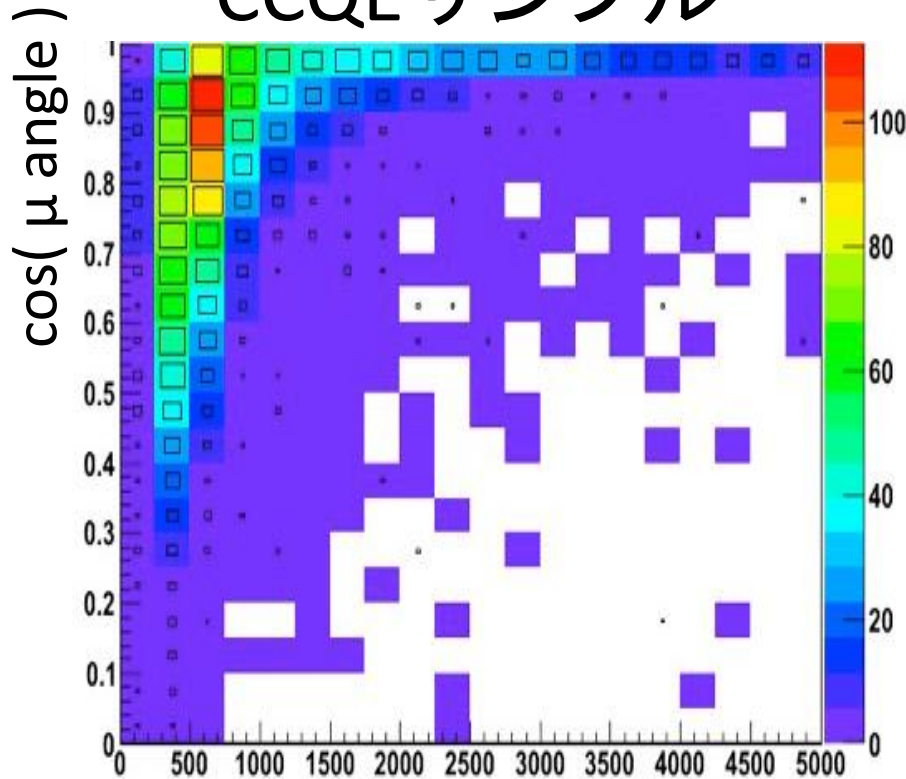
→両方とも振動解析に使用

After CC selection (with default MC)



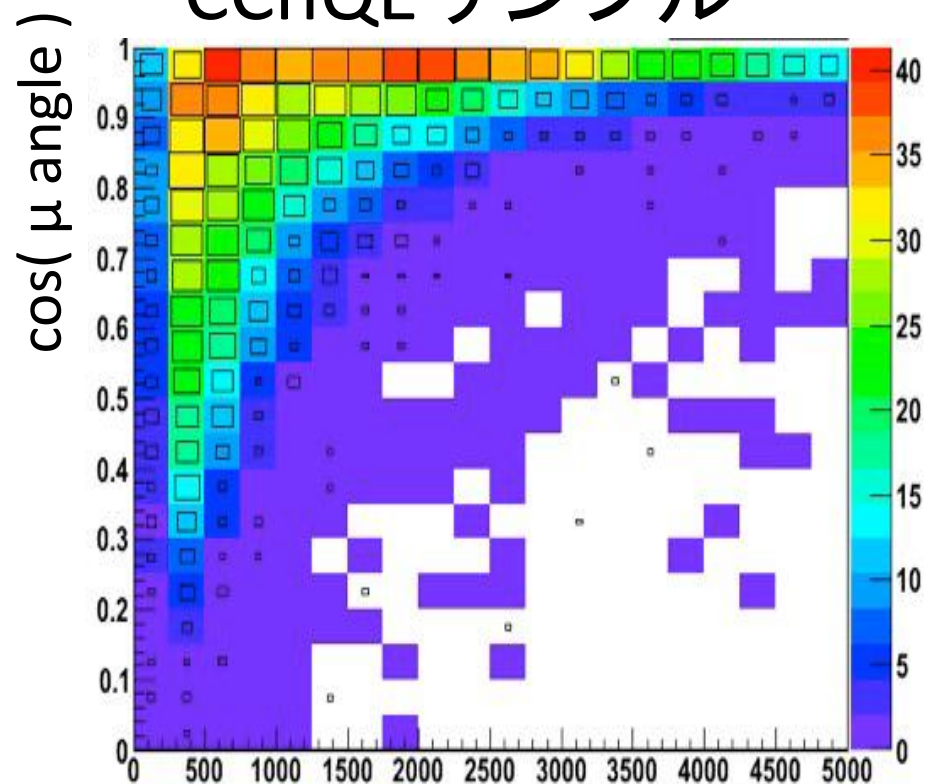
# $p_\mu, \theta$ 分布 カラー: MC、Box:データ

## CCQEサンプル



$\mu$  momentum [MeV/c]

## CCnQEサンプル

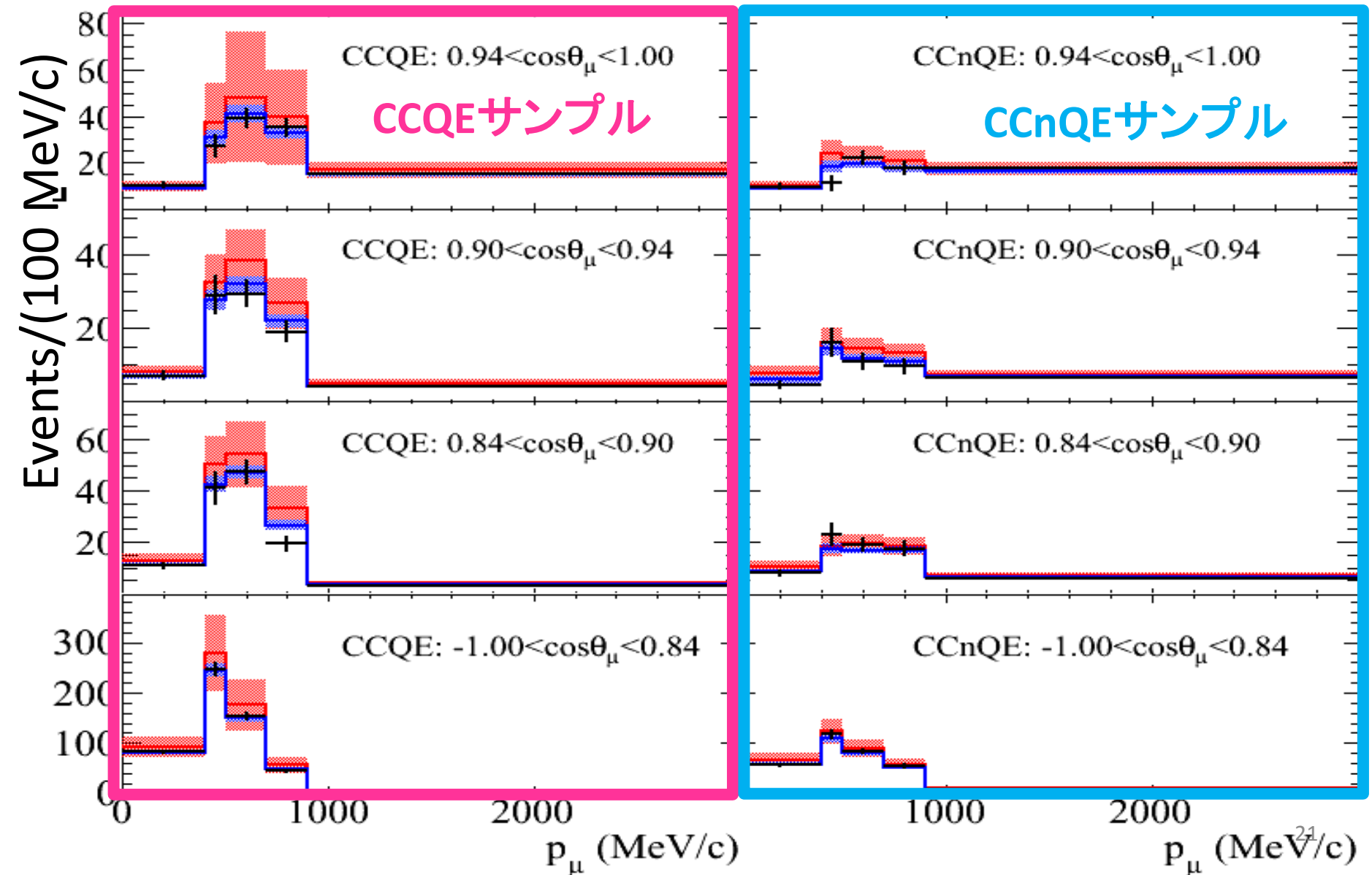


$\mu$  momentum [MeV/c]

- ND280の $p, \theta$ 分布を使ってSKにおける $p, \theta$ 分布を予想する。
- 不定性は数%(大きいところでも~10%)

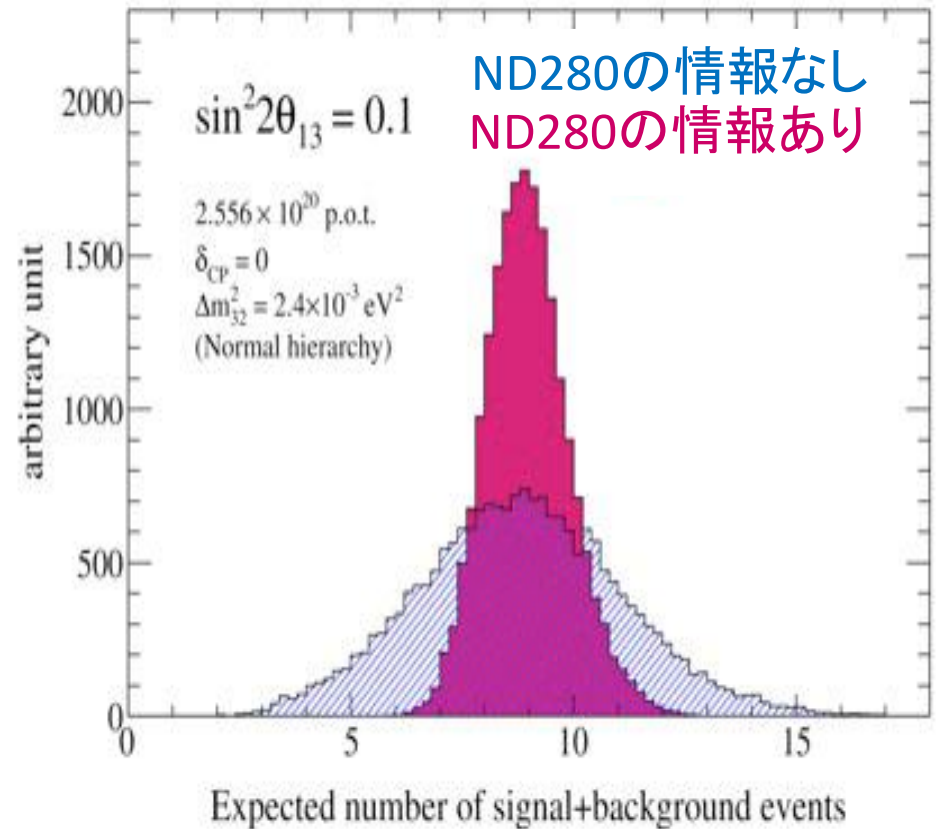
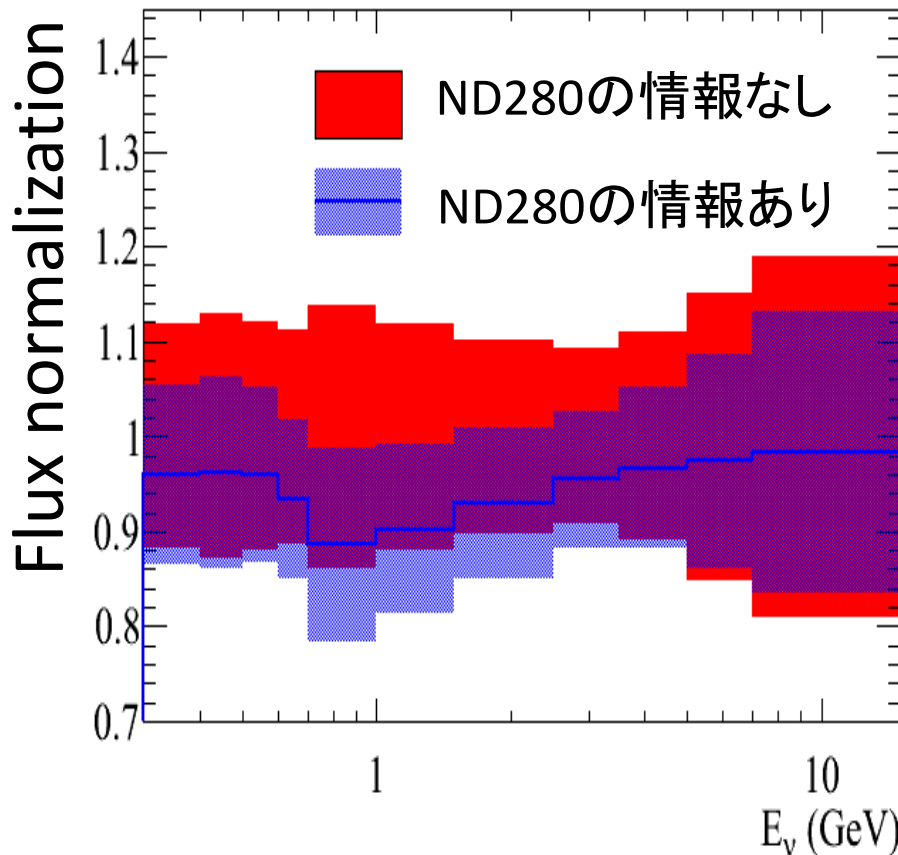
# ND280データをフィット

黒: ND280データ、赤: データフィット前のMC、青: ベストフィットMC



# ND280データによる制限

SK での  $\nu_\mu$  Flux 予想の補正ファクター



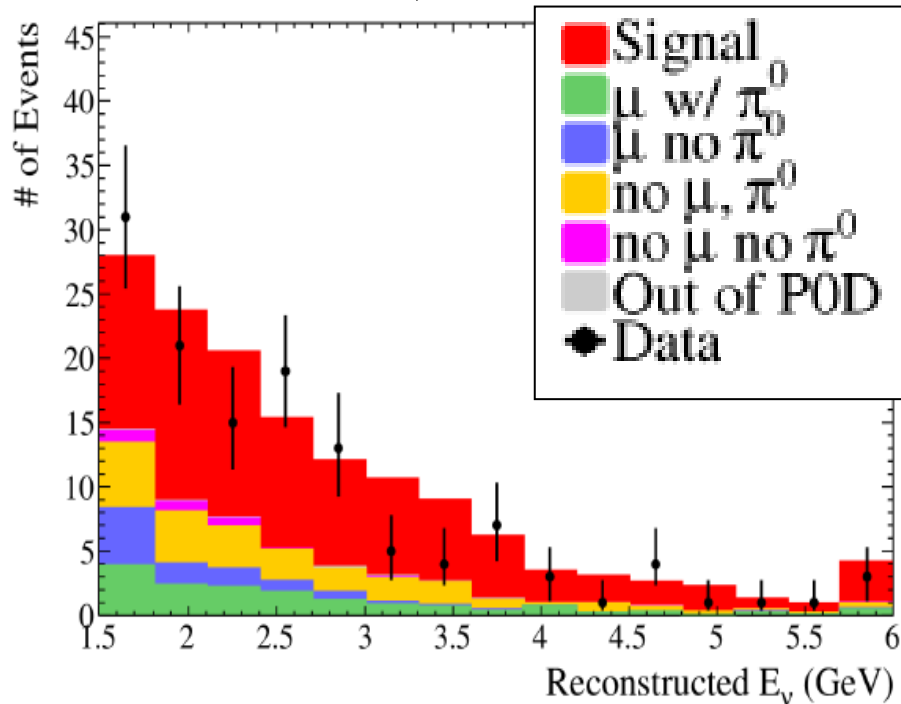
SKでの不定性を抑えることに成功！

# その他の測定

- ビーム  $\rightarrow \nu_e$
- NC  $\pi^0$
- ニュートリノ断面積測定

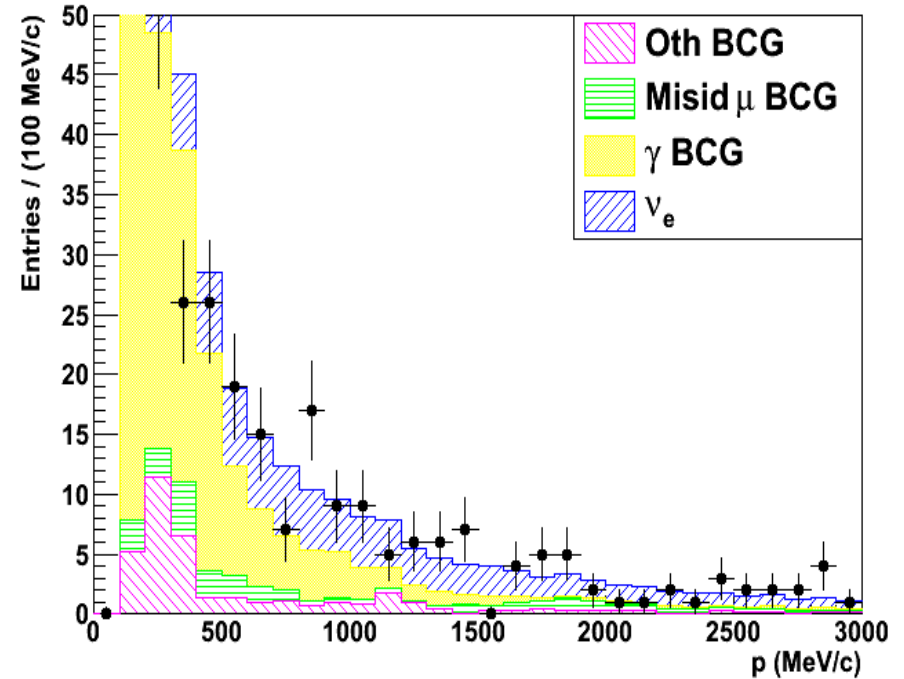
# ビーム中の $\nu_e$ の測定

## PODの測定



- ・シャワーlikeな飛跡が1つだけの事象を選択
- ・1.5GeV以上の事象を選択

## TPC+FGD+ECALの測定



- ・最大運動量の負電荷飛跡がFGDで始まる。
- ・その飛跡が電子飛跡である (TPCの $de/dx$ , Ecalでシャワーlike)

どちらもMCの予想と矛盾しない結果

# PODでのNC $\pi^0$ 測定

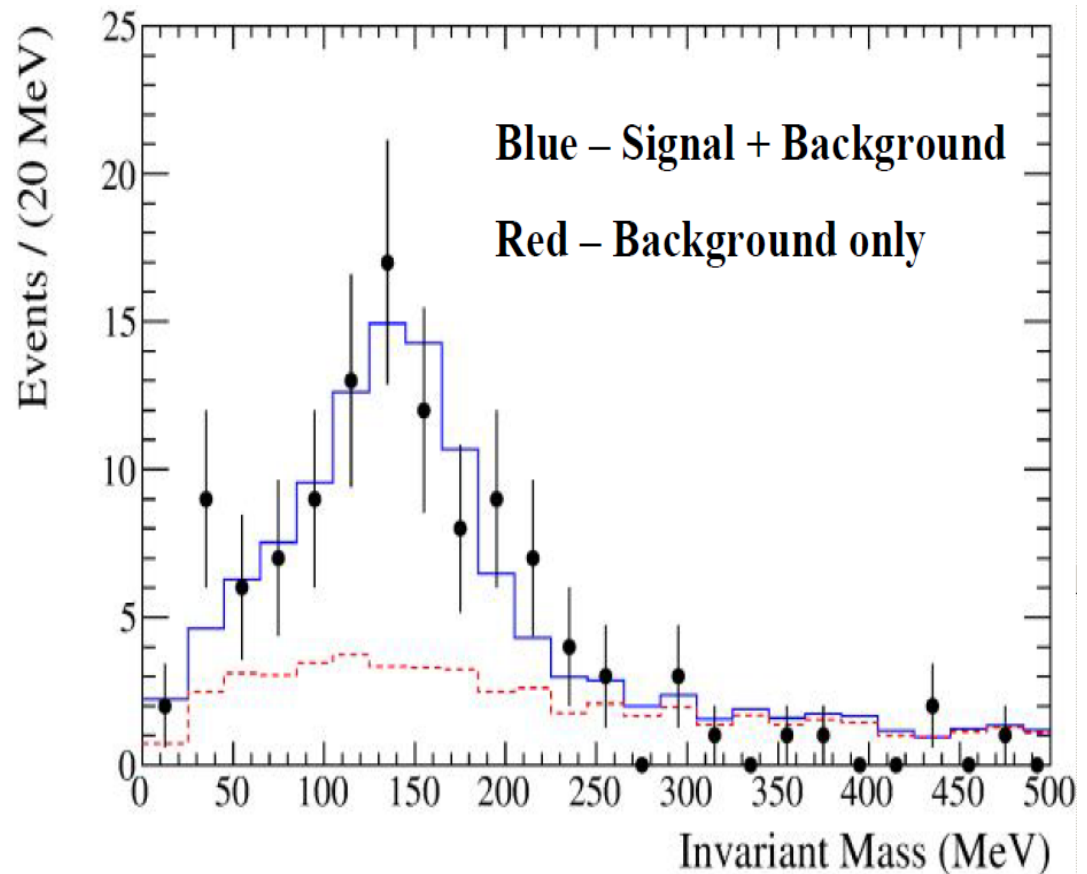
- SKでの $\nu_e$ 事象の主なBGであるNC $\pi^0$ の測定

## 事象選択

- $\mu$ like な飛跡がない。
- EM likeな飛跡が2つ。
- $\mu$ 崩壊電子がない。
- 前方散乱を選択。
- 飛跡間距離が5cmより離れている。

Data/MC =

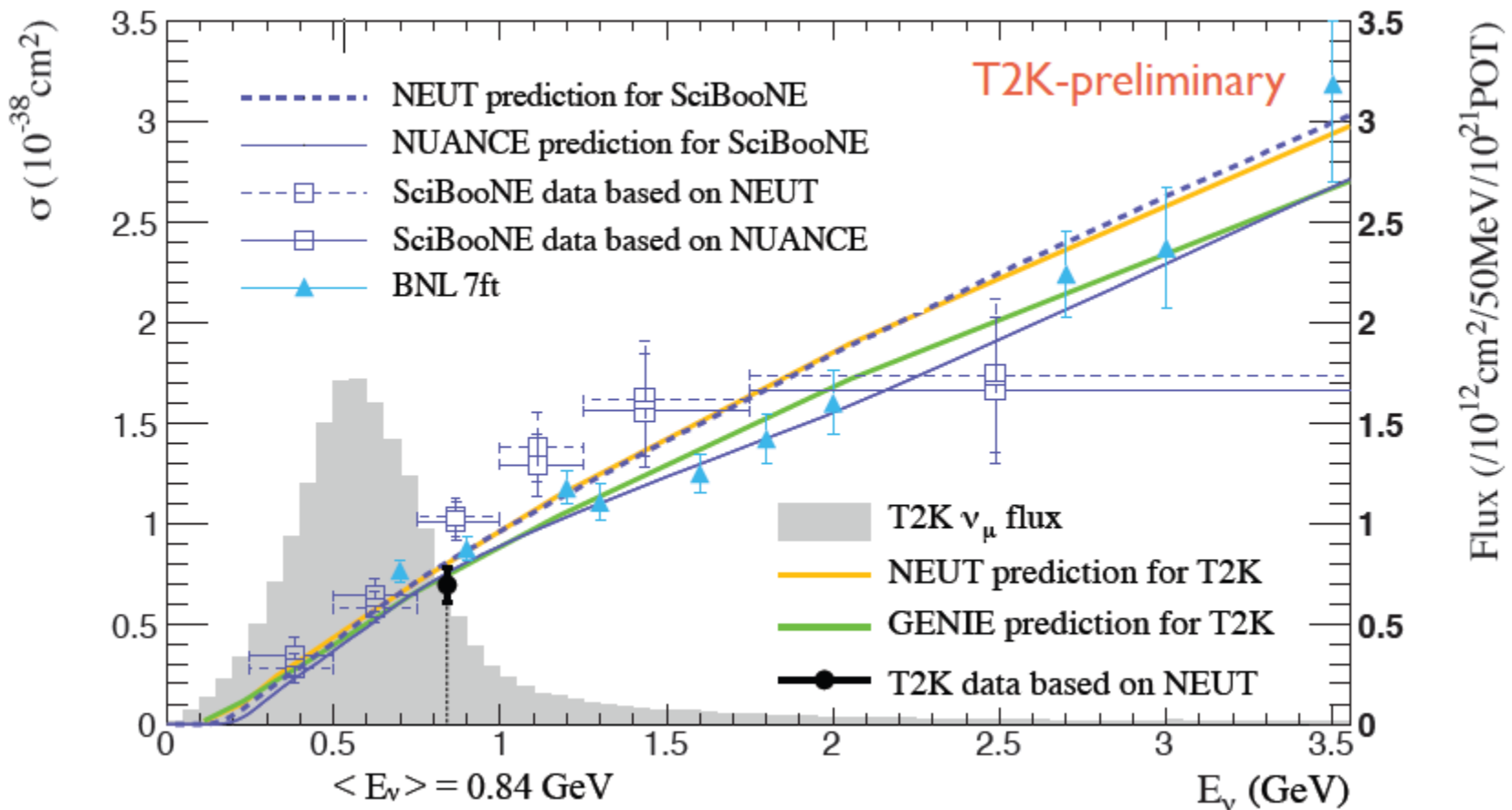
$$0.84 \pm 0.16 \text{ (stat)} \\ \pm 0.18 \text{ (sys)}$$



MC予想と矛盾のない結果

# CC Inclusive 断面積測定

$$\langle \sigma_{CC} \rangle_{\phi} = (6.93 \pm 0.13(stat) \pm 0.85(syst)) \times 10^{-39} \frac{\text{cm}^2}{\text{nucleons}}$$



MC予想と、誤差の範囲内で一致している

# まとめ

- ND280の $\nu_\mu$ 測定情報を用いることで、SKにおけるニュートリノスペクトル、角度分布の不定性を小さくできることができた。
- $\nu_\mu$ 以外の測定結果もそろい始めている。

今後、

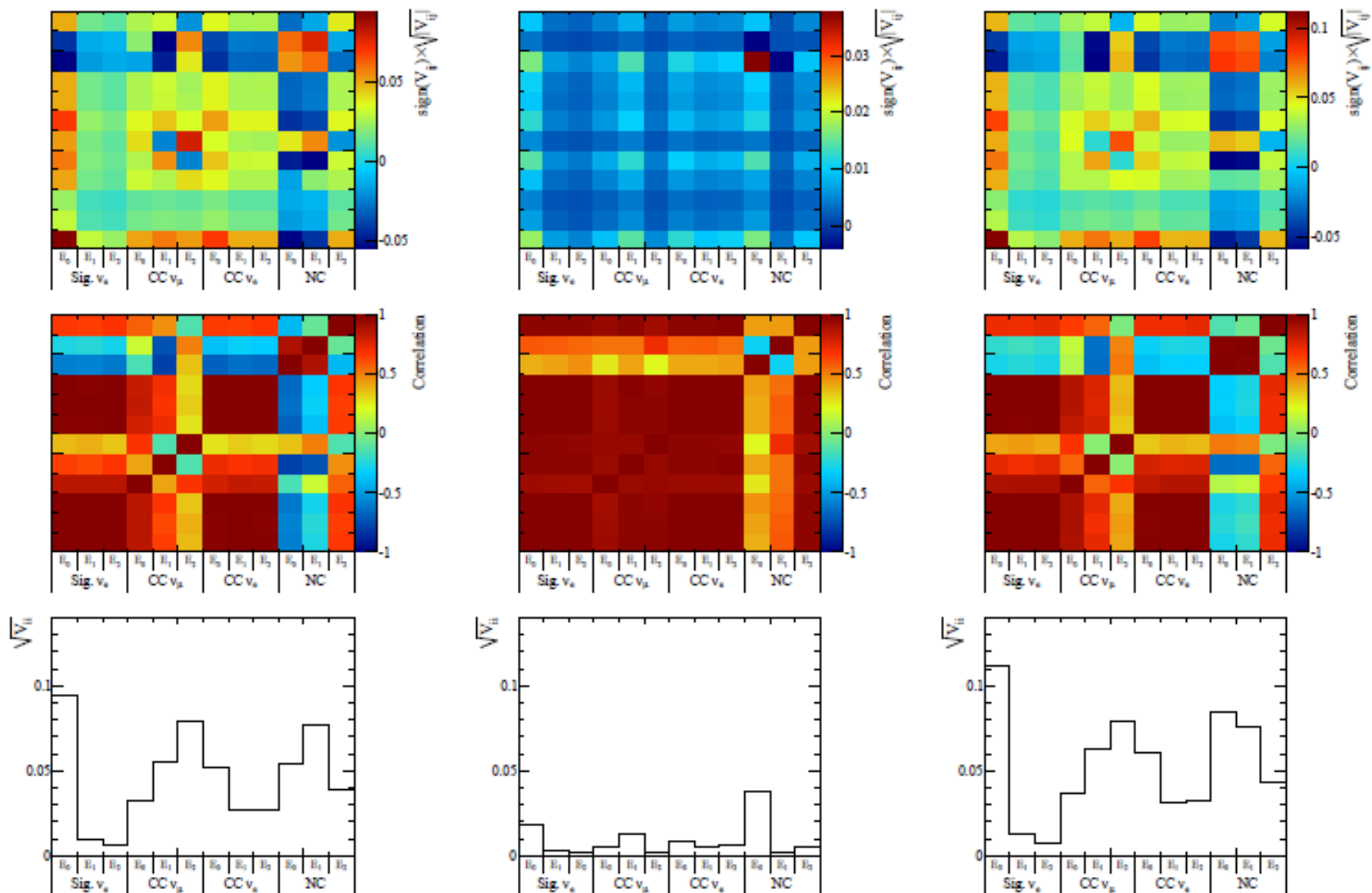
- まだ $\nu_\mu$ の測定情報しか考慮していないので他の測定情報も振動解析に入れる。
- いろいろな反応の断面積測定精度よく行う。

## Fitted Neutrino Interaction Model Parameters

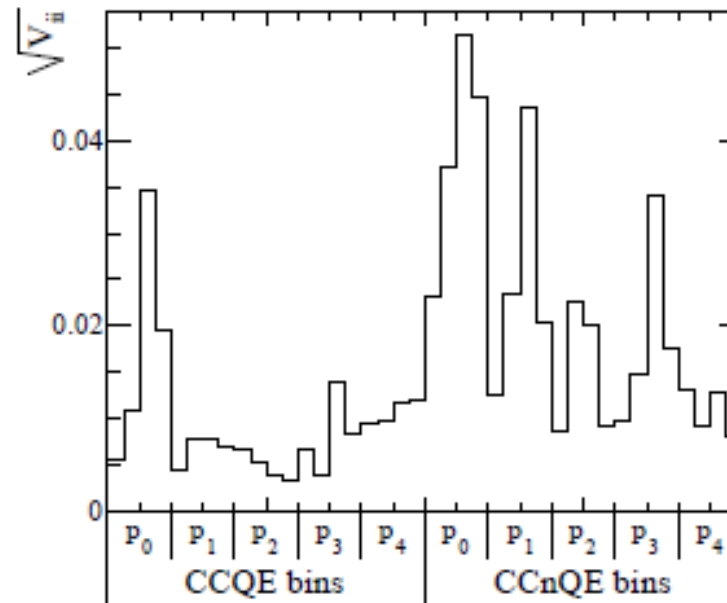
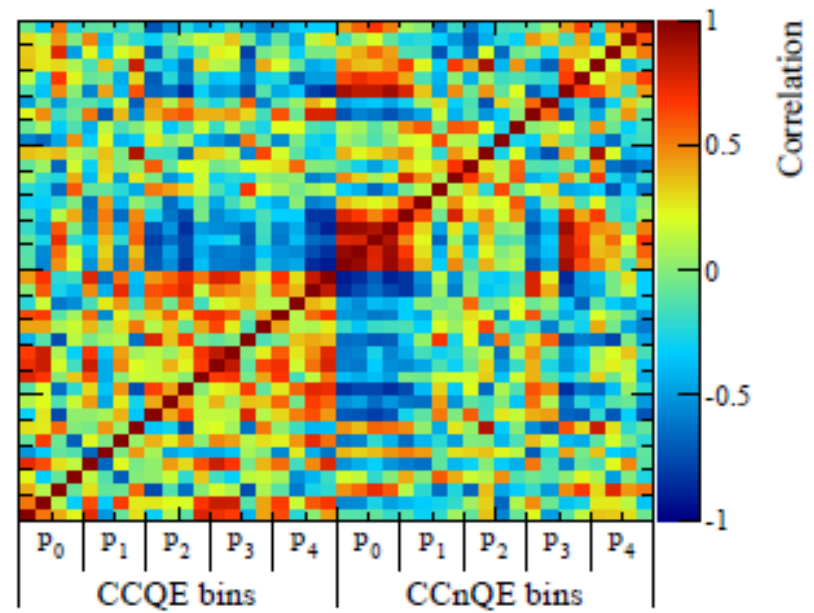
| Parameter                 | Prior Value          | Fitted Value      |
|---------------------------|----------------------|-------------------|
| $M_A^{QE}$ (GeV)          | $1.21 \pm 0.45$      | $1.19 \pm 0.19$   |
| $M_A^{RES}$ (GeV)         | $1.162 \pm 0.110$    | $1.137 \pm 0.095$ |
| CCQE Norm. < 1.5 GeV      | $1.0 \pm 0.11$       | $0.941 \pm 0.087$ |
| CCQE Norm. 1.5-3.5 GeV    | $1.0 \pm 0.30$       | $0.92 \pm 0.23$   |
| CCQE Norm. > 3.5 GeV      | $1.0 \pm 0.30$       | $1.18 \pm 0.25$   |
| CC1 $\pi$ Norm. < 2.5 GeV | $1.63 \pm 0.43$      | $1.67 \pm 0.28$   |
| CC1 $\pi$ Norm. > 2.5 GeV | $1.0 \pm 0.40$       | $1.10 \pm 0.30$   |
| NC1 $\pi^0$ Norm.         | $1.19 \pm 0.43$      | $1.22 \pm 0.40$   |
| Spectral Function         | 0 (off) $\pm$ 1 (on) | $0.04 \pm 0.21$   |
| $p_F$ (MeV/c)             | $217 \pm 30$         | $224 \pm 24$      |
| CC Other Shape (GeV)      | $0.0 \pm 0.4$        | $-0.05 \pm 0.35$  |

| model parameters                       | Before FIT                                 | After FIT  |
|--|--|--|
| CCQE $M_A$ [GeV]                       | $1.21 \pm 0.45$                            | <b><math>1.19 \pm 0.19</math></b>                                  |
| CC1 $\pi$ (resonance) $M_A$ [GeV]      | $1.16 \pm 0.11$                            | <b><math>1.14 \pm 0.10</math></b>                                  |
| Fermi momentum surface $P_F$ [MeV]     | $217 \pm 30$                               | $224.6 \pm 23.5$   |
| Spectral Function                      | 0[off] - 1[on]                             | $0.04 \pm 0.21$  |
| CC-other cross section shape           | $0.0 \pm 0.4$                              | $-0.05 \pm 0.35$   |
| CCQE E-dependence                      | $1.0 \pm 0.11, 1.0 \pm 0.11, 1.0 \pm 0.11$ | <b><math>0.94 \pm 0.09</math></b> , $0.92 \pm 0.23, 1.18 \pm 0.25$ |
| CC1 $\pi$ (resonance) E-dep.           | $1.63 \pm 0.43, 1.0 \pm 0.4$               | <b><math>1.67 \pm 0.28</math></b> , $1.10 \pm 0.30$                |
| NC- $\pi^0$ cross sections             | $1.19 \pm 0.43$                            | <b><math>1.22 \pm 0.40</math></b>                                  |
| CC-coherent $\pi$ cross section        | 1-1  | from other experiments   |
| NC-coherent $\pi$ cross section        | $1.0 \pm 0.3$                              | from other experiments   |
| NC other cross section                 | $1.0 \pm 0.3$                              | from other experiments   |
| W shape in resonance model [MeV]       | $87.7 \pm 45.3$                            | from other experiments   |
| $\pi$ -less $\Delta$ decay             | $0.0 \pm 0.2$                              | from other experiments   |
| CC-1 $\pi$ ,rNC-1 $\pi^0$ energy shape | $0.0 \pm 0.5$                              | from other experiments   |

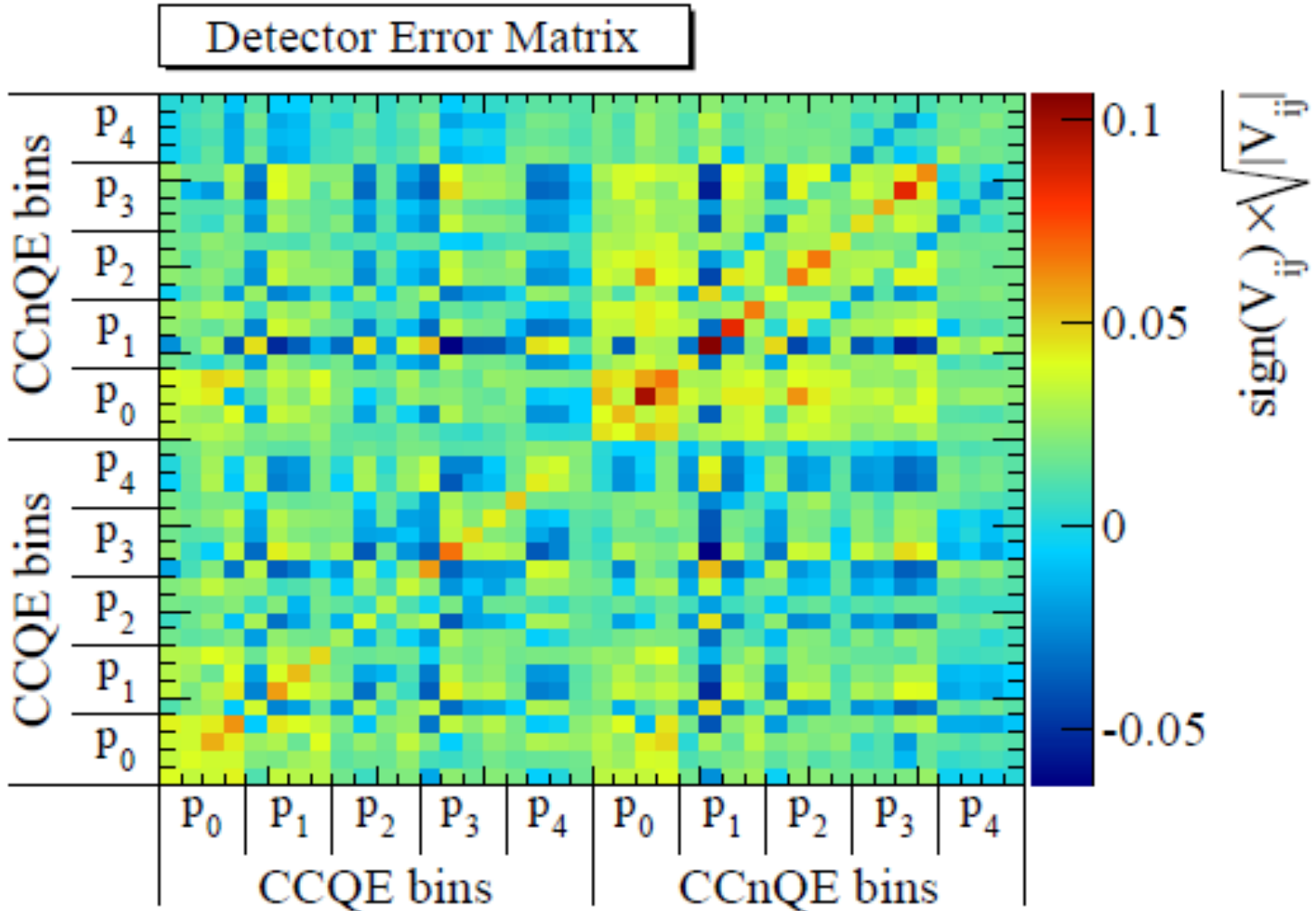
| Parameter             | $E_\nu$ Range       | Nominal         | Error  | CCQE  | CCnQE | Total | Class/Cat. |
|-----------------------|---------------------|-----------------|--------|-------|-------|-------|------------|
| $M_A^{QE}$            | all                 | 1.21 GeV/ $c^2$ | 0.45   | 15.5% | 5.2%  | 10.5% | B/1        |
| CCQE E1               | $0 < E_\nu < 1.5$   | 1.0             | 0.11   | 6.7%  | 1.5%  | 4.2%  | A/1        |
| CCQE E2               | $1.5 < E_\nu < 3.5$ | 1.0             | 0.30   | 6.7%  | 1.5%  | 4.2%  | A/3        |
| CCQE E3               | $E_\nu > 3.5$       | 1.0             | 0.30   | 6.7%  | 1.5%  | 4.2%  | A/3        |
| $p_F$ $^{12}\text{C}$ | all                 | 217 MeV/ $c$    | 30     | 1.6%  | 0.2%  | 0.8%  | B/2        |
| SF $^{12}\text{C}$    | all                 | 0 (off)         | 1 (on) | 0.9%  | 0.8%  | 0.6%  | B/2        |
| $M_A^{RES}$           | all                 | 1.16 GeV/ $c^2$ | 0.11   | 3.7%  | 6.0%  | 4.8%  | B/1        |
| CC1 $\pi$ E1          | $0 < E_\nu < 2.5$   | 1.63            | 0.43   | 3.7%  | 6.0%  | 4.8%  | A/1        |
| NC1 $\pi^0$           | all                 | 1.19            | 0.43   | 3.7%  | 6.0%  | 4.8%  | A/1        |
| CC1 $\pi$ E2          | $E_\nu > 2.5$       | 1.0             | 0.40   | 1.9%  | 4.8%  | 3.2%  | A/3        |
| CC Coherent           | all                 | 1.0             | 1.0    | 1.7%  | 3.9%  | 2.7%  | C/3        |
| CC Oth shp            | all                 | 0.0             | 0.40   | 0.7%  | 3.5%  | 2.0%  | B/3        |
| NC Other              | all                 | 1.0             | 0.30   | 0.5%  | 1.6%  | 1.0%  | C/3        |
| $W$ Shape             | all                 | 87.7 MeV/ $c^2$ | 45.3   | 0.6%  | 2.2%  | 0.9%  | C/3        |
| FSI                   | all                 | Section 7.2     |        | 0.5%  | 0.7%  | 0.2%  | C/3        |
| Total                 |                     |                 |        | 17.0% | 10.1% | 12.8% |            |



# FSI@ND280

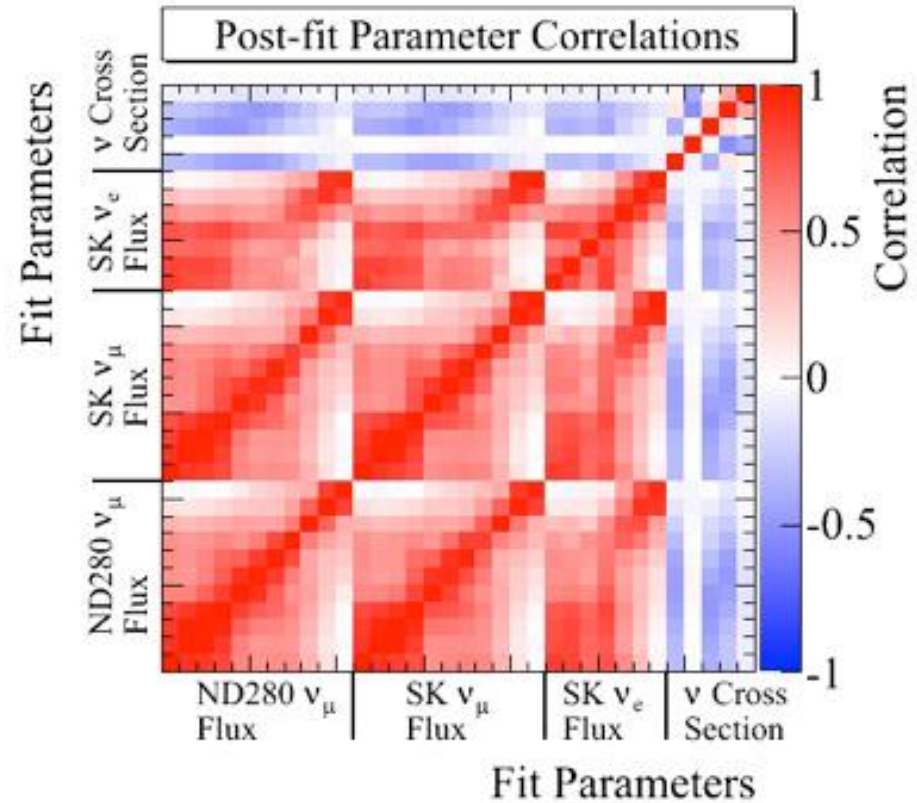
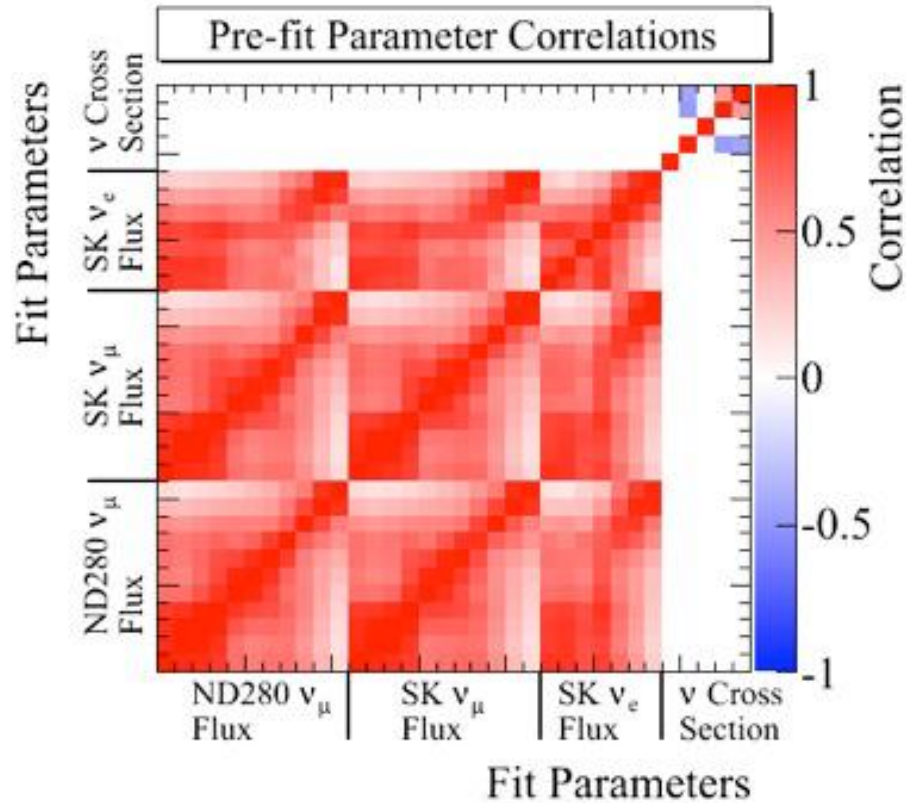


# ND280 Detector covariance

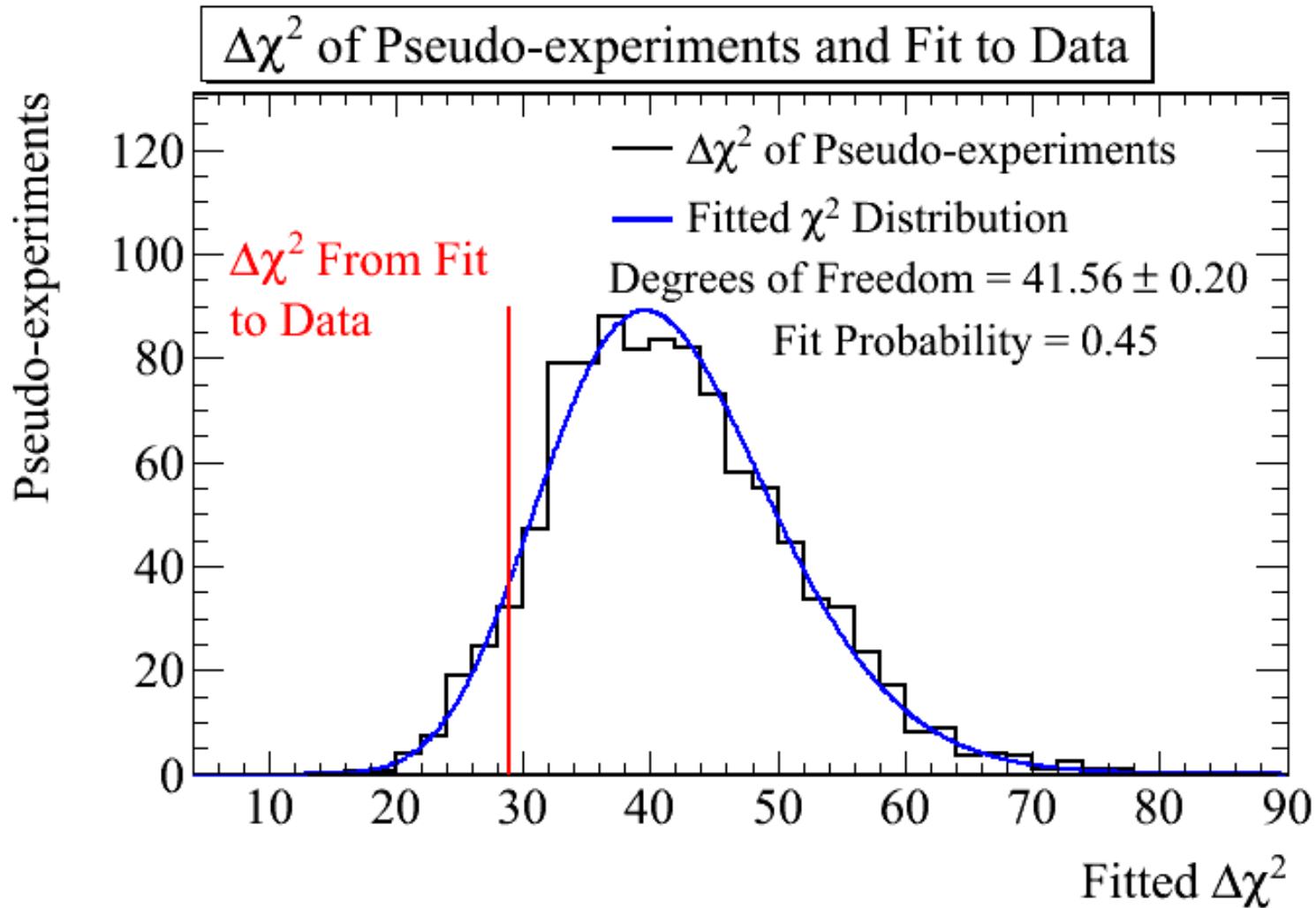


大きいところでも～10% (磁場の不定性によるTPC運動量の不定性、外からのBG)

# Correlation Matrix



# ND280フィット



# POD $\nu_e$

| Systematic Uncertainty          | Signal (%) | Background (%) |
|---------------------------------|------------|----------------|
| EM Scale                        | 7          | 16             |
| Fiducial Volume                 | 2          | 2              |
| Muon Rejection                  | 0          | 4              |
| MC Statistics                   | 3          | 4              |
| Mass Uncertainty                | 1          | 1              |
| Proton Reconstruction           | 3          | 6              |
| Final State Interactions        | 1          | 12             |
| Flux & Cross-section Parameters | 9          | 5              |
| Total                           | 12         | 22             |

# POD NCπ0

| Source                       | Error  | Contribution to Ratio (%) |
|------------------------------|--------|---------------------------|
| Mass Uncertainty             | 0.8%   | 0.8%                      |
| Detector Alignment           | 2.5 mm | < 0.1%                    |
| Fiducial Volume              | 7%     | 7%                        |
| Relative Flux Uncertainty    | 15%    | 15(6.5)%                  |
| Reconstruction Uncertainties | 4.7%   | 4.7%                      |
| Energy Resolution            | 10%    | 0.5%                      |
| Shape Uncertainty            | 13.7%  | 13.7%                     |
| Total                        | —      | 22(17)%                   |

FluxをCCinclusive でnormalize

# 断面積不定性

Table 17: Summary of the systematic errors. The error on the number of target ( 0.67 %) have been added in quadrature to the total systematic error.  $\phi$ ,  $det.$ ,  $FSI$  label the systematic uncertainty of the beam flux, detector response and FSI changed systematically following the covariance matrix showed in Fig. 9,11,10,12, x-s design the influence of the change of all the cross-section modeling parameter and channel rate.

|                      | $P_\mu$ (GeV/c) | $\cos \theta_\mu$ | algo. (%) | $\phi$ (%) | x-s (%) | det. (%) | FSI (%) | syst (%) | stat (%) | tot (%) |
|----------------------|-----------------|-------------------|-----------|------------|---------|----------|---------|----------|----------|---------|
| highest contribution | [0.0, 0.4]      | [-1, 0]           | 0.03      | 11.92      | 15.45   | 2.97     | 0.96    | 19.78    | 2.86     | 19.98   |
|                      |                 | [0, 0.84]         | 0.10      | 12.82      | 5.44    | 3.70     | 1.23    | 14.49    | 5.03     | 15.34   |
|                      |                 | [0.84, 0.9]       | 0.06      | 13.17      | 10.25   | 2.67     | 1.35    | 16.98    | 9.37     | 19.39   |
|                      |                 | [0.9, 0.94]       | 0.06      | 13.95      | 10.02   | 4.73     | 3.32    | 18.14    | 11.82    | 21.65   |
|                      |                 | [0.94, 1]         | 0.24      | 14.00      | 11.09   | 4.49     | 2.57    | 18.61    | 13.78    | 23.16   |
|                      | [0.4, 0.5]      | [-1, 0]           | 0.98      | 12.05      | 48.06   | 2.79     | 0.47    | 49.64    | 3.52     | 49.77   |
|                      |                 | [0, 0.84]         | 0.13      | 11.39      | 5.68    | 1.31     | 0.34    | 12.83    | 4.27     | 13.52   |
|                      |                 | [0.84, 0.9]       | 0.18      | 11.41      | 4.96    | 0.94     | 0.38    | 12.51    | 8.55     | 15.15   |
|                      |                 | [0.9, 0.94]       | 0.90      | 11.71      | 4.90    | 1.19     | 0.44    | 12.82    | 9.97     | 16.24   |
|                      |                 | [0.94, 1]         | 0.34      | 13.12      | 6.25    | 2.06     | 0.83    | 14.73    | 11.42    | 18.64   |
|                      | [0.5, 0.7]      | [-1, 0]           | 7.15      | 11.22      | 47.37   | 1.97     | 0.63    | 49.25    | 30.30    | 57.83   |
|                      |                 | [0, 0.84]         | 0.10      | 11.12      | 3.76    | 1.10     | 0.37    | 11.83    | 3.86     | 12.44   |
|                      |                 | [0.84, 0.9]       | 0.10      | 10.87      | 3.25    | 0.79     | 0.29    | 11.41    | 6.18     | 12.98   |
|                      |                 | [0.9, 0.94]       | 0.55      | 11.06      | 5.62    | 0.76     | 0.32    | 12.48    | 7.18     | 14.39   |
|                      |                 | [0.94, 1]         | 0.22      | 11.71      | 9.15    | 0.98     | 0.24    | 14.92    | 7.67     | 16.77   |
|                      | [0.7, 0.9]      | [-1, 0]           | 3.18      | 13.48      | 101.82  | 1.59     | 0.48    | 102.77   | 28.89    | 106.75  |
|                      |                 | [0, 0.84]         | 0.19      | 11.35      | 2.93    | 1.14     | 0.41    | 11.81    | 5.23     | 12.92   |
|                      |                 | [0.84, 0.9]       | 0.23      | 10.93      | 5.84    | 0.83     | 0.19    | 12.45    | 6.85     | 14.21   |
|                      |                 | [0.9, 0.94]       | 0.04      | 10.75      | 10.59   | 0.95     | 0.40    | 15.15    | 7.57     | 16.94   |
|                      |                 | [0.94, 1]         | 0.03      | 11.01      | 15.59   | 0.79     | 0.30    | 19.13    | 6.90     | 20.34   |
|                      | [0.9, 30.0]     | [-1, 0]           | -         | -          | -       | -        | -       | -        | -        | -       |
|                      |                 | [0, 0.84]         | 0.20      | 11.83      | 4.97    | 1.46     | 0.69    | 12.97    | 5.88     | 14.24   |
|                      |                 | [0.84, 0.9]       | 0.07      | 11.30      | 2.31    | 0.89     | 0.26    | 11.60    | 6.05     | 13.09   |
|                      |                 | [0.9, 0.94]       | 0.05      | 11.09      | 2.08    | 0.72     | 0.36    | 11.34    | 5.33     | 12.53   |
|                      |                 | [0.94, 1]         | 0.09      | 10.90      | 2.25    | 0.75     | 0.26    | 11.19    | 2.97     | 11.58   |

highest contribution

# Tracker $\nu_e$

| Syst. source               | $\Delta(f(\nu_e))$ |
|----------------------------|--------------------|
| Detector systematic errors | 0.061              |
| Flux and cross-section     | 0.088              |
| Total                      | 0.107              |

- Det.のメインはTPCのPID

# The predicted number of events and systematic uncertainties

The predicted # of events w/  $3.01 \times 10^{20}$  p.o.t.

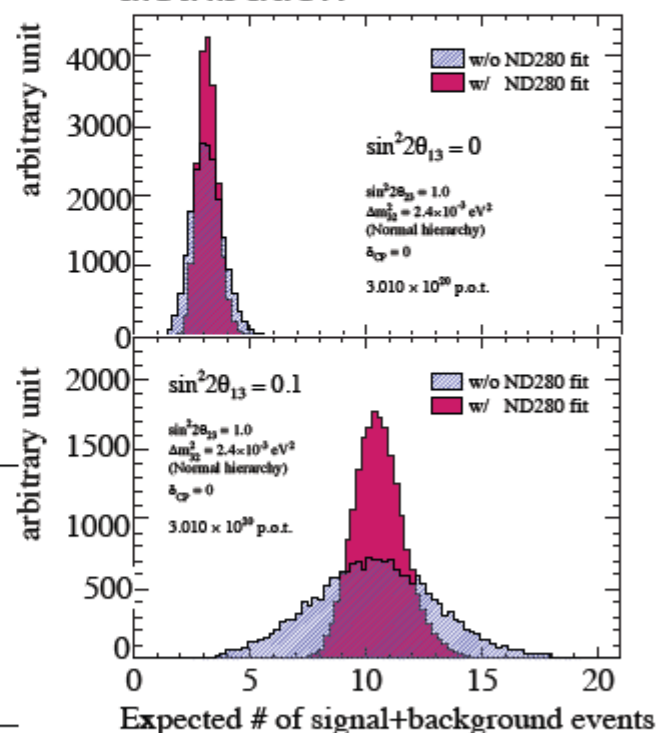
| Event category                             | $\sin^2 2\theta_{13} = 0.0$       | $\sin^2 2\theta_{13} = 0.1$        |
|--|-----------------------------------|------------------------------------|
| <b>Total</b>                               | <b><math>3.22 \pm 0.43</math></b> | <b><math>10.71 \pm 1.10</math></b> |
| $\nu_e$ signal                             | 0.18                              | 7.79                               |
| $\nu_e$ background                         | 1.67                              | 1.56                               |
| $\nu_\mu$ background (mainly NC $\tau^0$ ) | 1.21                              | 1.21                               |
| $\bar{\nu}_\mu + \bar{\nu}_e$ background   | 0.16                              | 0.16                               |

## Systematic uncertainties

| Error source                        | $\sin^2 2\theta_{13} = 0$     | $\sin^2 2\theta_{13} = 0.1$   |
|-------------------------------------|-------------------------------|-------------------------------|
| Beam flux+ $\nu$ int.<br>in T2K fit | 8.7 %                         | 5.7 %                         |
| $\nu$ int. (from other exp.)        | 5.9 %                         | 7.5 %                         |
| Final state interaction             | 3.1 %                         | 2.4 %                         |
| Far detector                        | 7.1 %                         | 3.1 %                         |
| <b>Total</b>                        | <b>13.4 %</b>                 | <b>10.3 %</b>                 |
| (T2K 2011 results:                  | <b><math>\sim 23\%</math></b> | <b><math>\sim 18\%</math></b> |

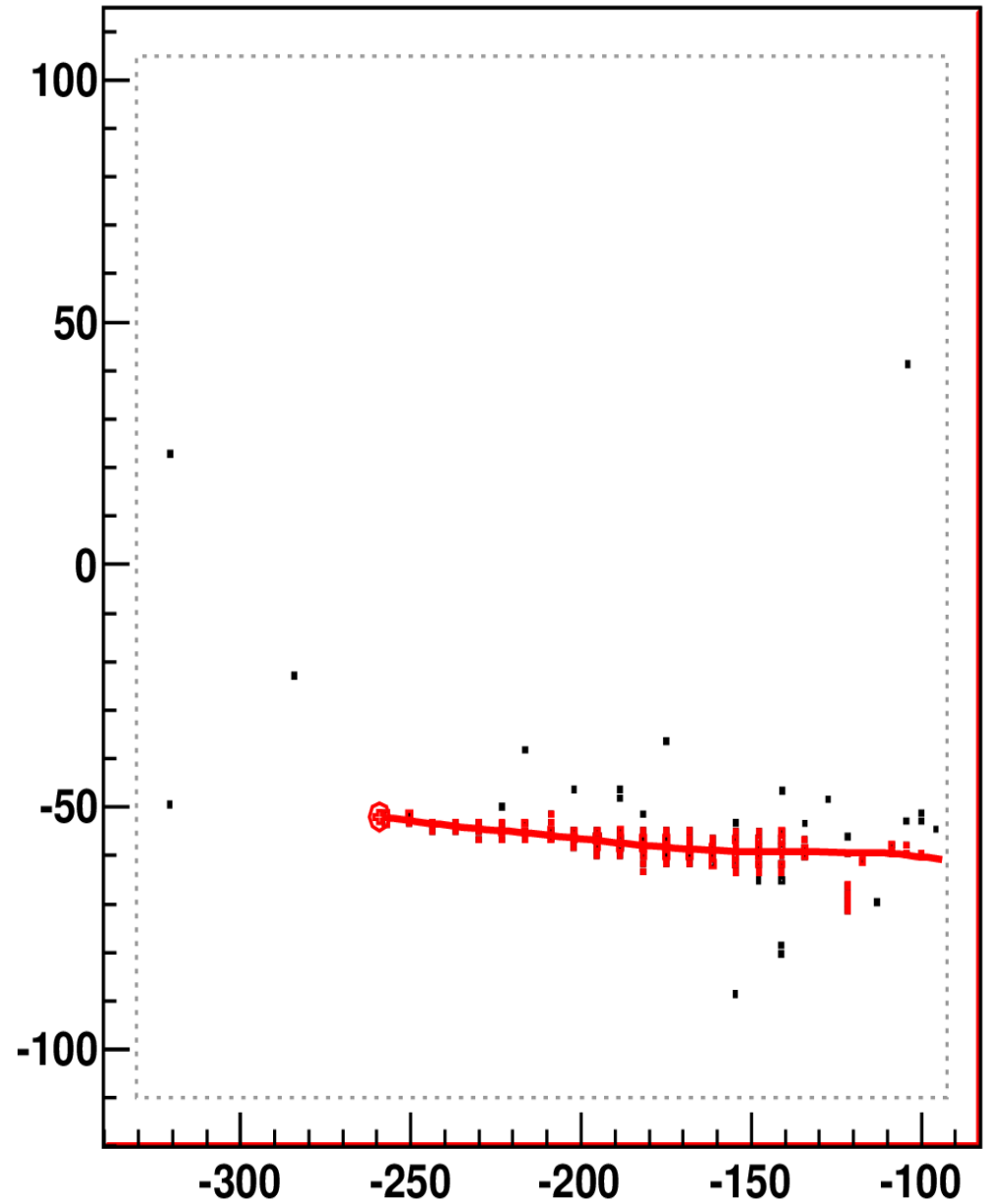
big improvement from 2011 results

the predicted # of event distribution



Uncertainties are reduced after the flux &  $\nu$  int. xsec fit

# ve 候補事象 @POD



# PID in TPC and Ecal

